

Астахов Григорий Сергеевич

**Синтез каркасных координационных соединений 3d-металлов на основе
сесквиоксановых лигандов и их применение в катализе**

1.4.1. Неорганическая химия

(химические науки)

АВТОРЕФЕРАТ
диссертации на соискание ученой степени
кандидата химических наук

Москва

2023

Работа выполнена на кафедре неорганической химии факультета физико-математических и естественных наук Федерального государственного автономного образовательного учреждения высшего образования "Российский университет дружбы народов имени Патриса Лумумбы" и в лаборатории гидридов металлов (№119) Института элементоорганических соединений им. А. Н. Несмиянова Российской академии наук (ИНЭОС РАН)

Научный руководитель:

Биляченко Алексей Николаевич

доктор химических наук (02.00.01 – Неорганическая химия), доцент кафедры неорганической химии ФГАОУ ВО «Российский университет дружбы народов им. Патриса Лумумбы»; ведущий научный сотрудник лаборатории гидридов металлов (№119), ФГБУН Института элементоорганических соединений им. А. Н. Несмиянова Российской академии наук (ИНЭОС РАН)

Официальные оппоненты:

Карлов Сергей Сергеевич

доктор химических наук (02.00.08 – Химия элементоорганических соединений), профессор РАН, профессор кафедры органической химии химического факультета ФГБОУ ВО «Московский государственный университет им. М. В. Ломоносова»

Яхваров Дмитрий Григорьевич

доктор химических наук (02.00.04 – Физическая химия), профессор РАН, главный научный сотрудник, заведующий лабораторией металлоорганических и координационных соединений Института органической и физической химии им. А. Е. Арбузова – обособленного структурного подразделения ФГБУН «Федерального исследовательского центра «Казанский научный центр РАН»»

Ведущая организация:

ФГБУН «Институт общей и неорганической химии им. Н.С. Курнакова РАН»

Защита состоится «29» июня 2023 г. в «15:00» часов в зале №2 на заседании Совета по защите докторских и кандидатских диссертаций на базе Российского Университета Дружбы Народов им. Патриса Лумумбы по адресу: 117923, г. Москва, ул. Орджоникидзе, д. 3

С диссертацией и авторефератом можно ознакомиться на сайте <https://www.rudn.ru/science/dissovet> и в Учебно-научном информационном библиографическом центре Российского Университета Дружбы Народов им. Патриса Лумумбы по адресу: 117198, г. Москва, ул. Миклухо-Маклая, д. 6

Автореферат разослан «___» _____ 2023 г.

**Ученый секретарь диссертационного совета
ПДС 0200.002 «Химические науки»
кандидат химических наук**



Маркова Е. Б.

Общая характеристика работы

Актуальность темы. Исследование соединений каркасного строения, содержащих оксокластеры поливалентных металлов в различном лигандном окружении, является актуальной задачей современной химии. Объекты этого типа демонстрируют исключительное разнообразие состава и строения, что определяет возможность управления практически цennymi свойствами – катализитическими, фотофизическими, магнитными, а также биологической активностью. Способность формирования каркасными соединениями надмолекулярных структур – координационных полимеров – актуально в междисциплинарном отношении как переход к науке функциональных материалов. Каркасные металлокомплексы, содержащие матричные сил- ($RSiO_{1,5}$)_n или гермсесквиоксановые ($RGeO_{1,5}$)_n лиганды, – востребованные объекты современной химии ввиду исключительной универсальности этих лигандов, способных координировать ионы металлов любой природы, а также формировать гетероядерные структуры. Возможность сочетания сил- и гермсесквиоксановых структурных элементов с органическими лигандаами делает молекулярный дизайн и потенциальное применение металлосесквиоксанов ещё более разнообразным. Различными научными группами был продемонстрирован широкий функциональный спектр металлосесквиоксановых комплексов. Эти соединения демонстрируют высокую катализическую активность, необычное магнитное и люминесцентное поведение, а также возможность получения функциональных материалов (наночастиц, мембран, антиприренов), что безусловно определяет **актуальность** исследования химии металло- и гермсесквиоксанов.

Степень разработанности темы исследования. За последние годы было показано, что перспективным решением в молекулярном дизайне каркасных металлосесквиоксанов являются процессы комплексообразования *in situ* при использовании дополнительных хелатирующих (либо мостиковых) лигандов, при этом степень исследованности этого подхода остается невысокой. Реакционная способность меди- и гермсесквиоксанов в реакциях комплексообразования с 1,10-фенантролином описана всего в двух публикациях, а реакционная способность в комплексообразовании с пиперазином, этилендиамином, тетраметилэтилендиамином не изучалась. Также в литературе отсутствуют примеры комплексообразования марганецсилесквиоксанов с 1,10-фенантролином и батофенантролином.

Ранее в нескольких работах было показано протекание самопроизвольных процессов окисления, сопровождающих самосборку металлосесквиоксанов. Продукты окисления спирта (среды синтеза) в виде карбоксилатных фрагментов выступают как дополнительные структурные компоненты при сборке металлопроизводных, однако направленный синтез гибридных (карбоксилат/сесквиоксановых) металлокомплексов в литературе не описан.

Также за последнее время также были предложено несколько подходов к получению функциональных координационных полимеров на основе металло- и гермсесквиоксанов, показана эффективность использования щелочных металлов с высокими ионными радиусами (калий, цезий) для обеспечения межкаркасного связывания. При этом рубидийсодержащие силесквиоксаны остаются неизвестными, несмотря на очевидные перспективы их применения в дизайне координационных полимеров. В свою очередь, в литературе описаны несколько примеров супрамолекулярной организации металлосилесквиоксанов за счёт π-π стэкинговых взаимодействий дополнительных N,N-лигандов, входящих в состав каркасов, однако примеры соединений, наиболее перспективных для наблюдения стэкинговых взаимодействий (каркасы, содержащие более трех N,N-лигандов в структуре) в литературе отсутствуют.

Вместе с тем за последние годы была исследована катализическая активность металло- и металлогермсесквиоксанов в окислительной функционализации углеводородов с получением химических продуктов с высокой добавленной стоимостью. Развитие этого направления полностью сохраняет свою актуальность, особенно в случае применения недорогостоящих меди- и гермсесквиоксановых катализаторов. Другими востребованными химическими процессами, катализируемыми соединениями меди, являются гидрокарбоксилирование алканов (получение карбоновых кислот) и реакция кросс-сочетания по Чану-Эвансу-Ламу. В обеих реакциях катализитические свойства металлосесквиоксанов ранее не были исследованы. Ещё одной важной задачей современной химии является получение амидов – структурных фрагментов ~25% лекарственных препаратов. Ранее было показано, что меди- и железосодержащие сесквиоксановые комплексы проявляют высокую активность в окислительном амидировании. В свою очередь, использование марганецсодержащих катализаторов в этом процессе особенно перспективно, учитывая высокую распространённость и малую токсичность марганца, при этом марганецсилесквиоксановые каркасы мало распространены и их катализитические свойства ранее не были описаны в литературе.

Решение вышеуказанных научных задач представлено в настоящем диссертационном исследовании, что определяет его актуальность в контексте управления процессами структурообразования металлосилесквиоксанов и исследования их катализитических свойств.

Цель и задачи работы:

- исследование молекулярного дизайна семейства каркасных сил- и гермсесквиоксанов, содержащих ионы переходных (меди, марганца) и щелочных (натрия, рубидия, цезия) металлов;
- установление закономерностей структурообразования медь- и марганецсквиоксанов при комплексообразовании с N,N-лигандами;
- установление закономерностей супрамолекулярной организации медь- и марганец- силесквиоксанов;
- изучение окислительных процессов при самосборке медьесквиоксанов и возможности направленного получения карбоксилат/сесквиоксановых металлокомплексов;
- исследование катализитических свойств медь- и марганецсквиоксанов в гомогенных реакциях органического синтеза.

Научная новизна работы. Впервые показано влияние различных N,N-лигандов (1,10-фенантролина, пиперазина, этилендиамина, тетраметилэтилендиамина) на самосборку металлосилесквиоксанов, содержащих один тип переходного металла – меди(II). Впервые получен каркасный металлосилесквиоксан с высоким содержанием N,N-лигандов (Cu_4Na_4 -фенилсилесквиоксан, включающий четыре фенантролиновых лиганда), представляющий первый пример металлосилесквиоксанового 2D координационного полимера, формирующегося за счёт стёкинговых взаимодействий N,N-лигандов в соседних каркасах. Детально исследовано протекание структурных перегруппировок и окислительных процессов при синтезе медьесквиоксанов, впервые направленно синтезированы карбоксилатные производные металлосилесквиоксанов. Впервые получены Rb-содержащие силесквиоксаны (каркасы с нуклеарностью Cu_4Rb_4 , формирующие непористые координационные полимеры). Впервые получено семейство марганецсилесквиоксанов за счёт комплексообразования с 1,10-фенантролином и батофенантролином, показана их надмолекулярная организация за счёт стёкинговых взаимодействий фенантролиновых лигандов, приводящих к образованию димерных производных. Впервые показана катализическая активность: (а) медьесквиоксанов в гидрокарбоксилировании углеводородов и реакции Чана-Эванса-Лама; (б) марганецсилесквиоксанов в реакции окислительного амидирования.

Теоретическая и практическая значимость работы. Предложены эффективные *one-pot* методы молекулярного дизайна медь- и марганецсквиоксанов, в том числе – контролируемого получения надмолекулярных производных. Разработаны управляемые методы синтеза гетеролигандных (содержащих сесквиоксановые и N,N-лиганды) металлокомплексов. Предложен направленный подход к получению гетеролигандных (карбоксилат/сесквиоксановых) металлокомплексов, открывающий широкие перспективы для дальнейшего исследования металлокомплексов этого нового семейства. Обнаруженная высокая катализическая активность медь- и марганецсилесквиоксанов перспективна для получения лекарственных веществ и функционализации инертных углеводородов в мягких условиях.

Методология и методы исследования. Строение каркасных комплексов исследовано методами рентгеноструктурных исследований, XANES-, УФ- и ИК-спектральными исследованиями, а также методами элементного анализа. Строение продуктов катализитических превращений было установлено хроматографическими методами анализа, ИК- и ЯМР-спектральными исследованиями.

Положения, выносимые на защиту:

- результаты разработки синтетических подходов к семейству медь- и марганецсодержащих сил- и гермсесквиоксанов, в том числе за счёт комплексообразования с хелатирующими N,N-лигандами (1,10-фенантролином, батофенантролином, этилендиамином, тетраметилэтилендиамином);
- результаты исследования особенностей надмолекулярного строения Cu- и Mn-силесквиоксанов, в том числе реализации π-π стёкинговых взаимодействий ароматических систем N,N-лигандов;
- результаты исследования окислительных процессов при самосборке медьесквиоксанов и возможности направленного синтеза карбоксилат/сесквиоксановых производных;
- результаты исследования катализической активности металлосилесквиоксанов в окислительном амидировании и функционализации углеводородов, гидрокарбоксилировании циклоалканов, реакции Чана-Эванса-Лама.

Личный вклад автора. Автор участвовал в формулировке целей и задач диссертации, выборе объектов и методе их исследования. Автором собственноручно проведены синтезы Cu- и Mn-содержащих сил- и гермсесквиоксанов, исследования по изучению их строения, а также

катализитическому скринингу полученных комплексов, включая обработку спектральных и хроматографических данных продуктов каталитических превращений. Автор принимал непосредственное участие в описании и обобщении полученных результатов, формулировке выводов и написании публикаций.

Степень достоверности. Достоверность результатов обеспечена использованием современных инструментальных методов исследования на базе ФГАОУ ВО «Российский университет дружбы народов», ФГБУН ИНЭОС РАН, Национального исследовательского центра «Курчатовский институт», а также воспроизводимостью полученных результатов и их непротиворечивостью.

Апробация работы. Результаты докторской работы были представлены на международных и российской конференциях: «20st JCF-Fruhjahrssymposium» (Germany, Konstanz, 2018); The Fifth International Scientific Conference “Advances in Synthesis and Complexing” (Russia, Moscow, 2019); 5th Euchem inorganic chemistry conference (EICC-5) (Russia, Moscow, 2019); II Научная конференция 'Динамические процессы в химии элементоорганических соединений', посвящённая 75-летию ИОФХ им. А.Е. Арбузова и Казанского научного центра РАН (РФ, г. Казань, 2020 г.).

Полнота изложения докторской работы. По материалам докторской опубликовано 10 работ, среди них 6 статей в рецензируемых журналах, индексируемых в базах данных Scopus и Web of Science. Результаты представлены на 3 международных конференциях и 1 российской с международным участием (опубликованы тезисы докладов).

Объём и структура работы. Докторская изложена на 219 страницах машинописного текста. Она включает введение, обзор литературы, обсуждение результатов и экспериментальную часть, выводы и список литературы (304 наименования), содержит 190 рисунков и 19 таблиц.

Соответствие докторской паспорту специальности. Докторское исследование соответствует паспорту специальности 1.4.1 – неорганическая химия, а именно: п. 1 «Фундаментальные основы получения объектов исследования неорганической химии и материалов на их основе»; п. 2 «Дизайн и синтез новых неорганических соединений и особо чистых веществ с заданными свойствами»; п. 7 «Процессы комплексообразования и реакционная способность координационных соединений, реакции координированных лигандов».

Работа выполнена финансовой поддержке РФФИ (проекты 19-03-00142 и 19-03-00488) и РНФ (проект 22-13-00250).

Автор выражает искреннюю благодарность за помощь в работе коллегам из ИНЭОС РАН: всем сотрудникам лаборатории гидридов металлов (особенно к.х.н. М.М. Левицкому) за консультации по синтезу каркасных металлоесквиоксанов), лаборатории рентгеноструктурных исследований (д.х.н., проф. РАН А.А. Корлюкову, к.х.н. А.В. Вологжаниной и к.х.н. А.Ф. Смольякову за проведение РСИ синтезированных комплексов), лаборатории π-комплексов металлов (к.х.н. Л.С. Шульпиной) и лаборатории механизмов реакций (к.х.н. Н.С. Иконникову) за помощь в проведении каталитических экспериментов по окислению углеводородов и спиртов пероксидом водорода, а также хроматографическому анализу состава полученных смесей. Автор также выражает искреннюю благодарность: сотрудникам Института химической физики РАН д.х.н. Г.Б. Шульпину и к.х.н. Ю.Н. Козлову за помощь в интерпретации кинетических данных по окислению углеводородов и спиртов пероксидом водорода; сотрудникам кафедры неорганической химии Российского университета дружбы народов (особенно зав. каф., д.х.н., проф. РАН В.Н. Хрусталёву за проведение РСИ полученных комплексов); сотруднику НИЦ «Курчатовский институт» зам. нач. отдела синхротронных экспериментальных станций ККСНИ П.В. Дороватовскому за проведение РСИ полученных комплексов; сотрудникам Лаборатории химической физики f-элементов химического факультета Московского государственного университета им. М. В. Ломоносова к.ф.-м.н. А.Л. Тригубу и Д.А. Новичкову за проведение XANES-экспериментов Mn-содержащих комплексов; сотруднику Института катализа СО РАН д.ф.-м.н. Я.В. Зубавичусу за помощь в проведении РСИ полученных комплексов; сотрудникам Университета Монпелье, Франция, Dr. Ф. Ламати и Dr. К. Бантрею за возможность стажировки для проведения каталитического скрининга Cu-содержащих комплексов в реакции Чана-Эванса-Лама; Еврейского университета (Иерусалим, Израиль), проф. Д. Гельману за возможность стажировки для проведения каталитического скрининга Mn-содержащих комплексов в реакции окислительного амидирования; сотрудникам Университета Лиссабона, Португалия, проф. А.М. Кириллову и Dr. М.В. Кирилловой за проведение каталитического скрининга Cu-содержащих комплексов в реакции гидроксикарбоксилирования.

Обсуждение результатов

1. Особенности получения Cu^(II) сил- и гермсесквиоксанов

Для получения широкого ряда Cu-содержащих силсесквиоксанов было решено сосредоточиться на синтетическом подходе, который базируется на комплексообразовании ионов металлов с двумя разными типами лигандов – с сесквиоксановыми и органическими. В качестве метода синтеза была использована реакция взаимодействия фенилсилоксанолята натрия с хлоридом меди(II) и 1,10-фенантролином в различных системах органических растворителей. Применение двух типов сольватирующих лигандов с высокой координирующей способностью (THF и DMF) позволило выделить два типа каркасных соединений: медннатрийсодержащий комплекс $[(Ph_{12}Si_{12}O_{24})Cu_4Na_4(phen)_4] \cdot (THF)_8$ **1** с выходом 18% и медьсодержащий комплекс $[(Ph_6Si_6O_{11})(Ph_6Si_7O_{13}(OH)_2)Cu_5(phen)_3] \cdot (DMF)_2$ **2** с выходом 28% (рис. 1). Соединение **1** представляет собой комплекс с нуклеарностью Cu_4Na_4 , при этом ионы меди формируют центральный фрагмент состава $[Cu_2O_2]_2$, а ионы натрия занимают внешнесферные позиции по отношению к силсесквиоксановому каркасу (рис. 2, слева). Необходимо отметить, что исходные силанолятные звенья при сборке **1** формируют крупный силсесквиоксановый лиганд $Ph_{12}Si_{12}(O)_{12}(O^-)_{12}$, который ранее был обнаружен в составе других каркасных металлоксилсесквиоксанов¹. При использовании другого типа сольватирующего лиганда – DMF – образуется комплекс **2** (рис. 1, справа). Комплекс **2** содержит три фенантролиновых лиганда, которые координируются с тремя ионами меди, в то время как оставшиеся два иона металла координированы исключительно O-содержащими лигандами. В каркасе **2** представлены два типа силсесквиоксановых лигандов: первый представляет собой не полностью конденсированный кубический силсесквиоксан ($Ph_6Si_6O_{11}$). В отличие от широко распространённых каркасных металлоксилсесквиоксанов, полученных с использованием Si₇-триолов², каркасные металлоксилсесквиоксаны, включающие в себя Si₆-тетраол в качестве структурной единицы, являются наиболее редкими представителями этого семейства. Нужно отметить, что Si₆-фрагмент в **2** образовался *in situ* при самосборке каркаса; ранее такого рода структурный фрагмент использовался в качестве синтона для синтеза металлоксилсесквиоксанов^{3,4}.

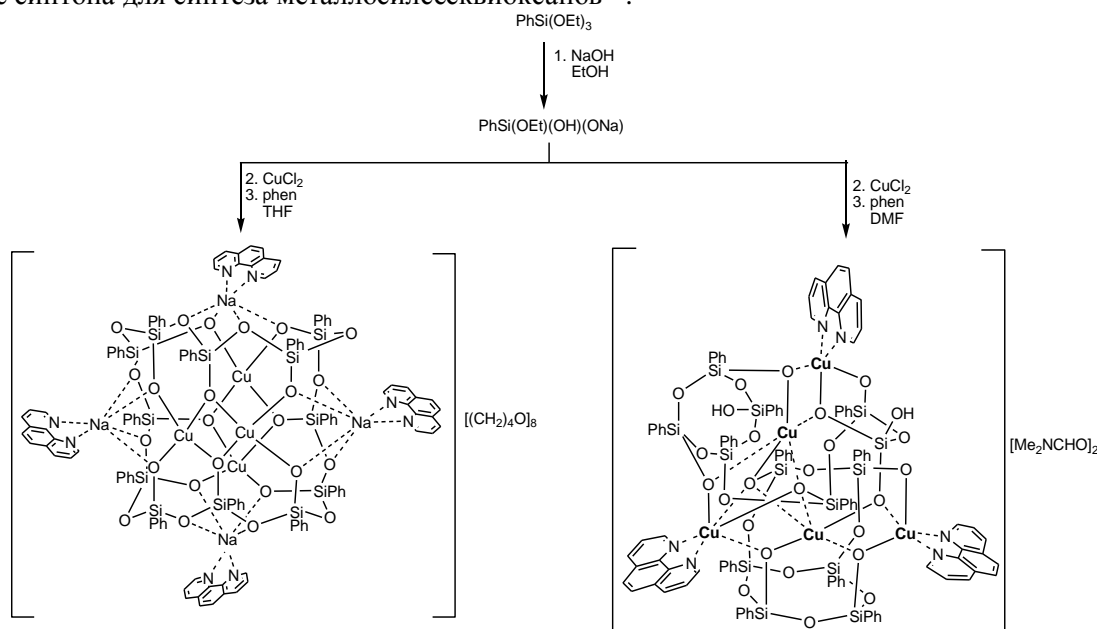


Рисунок. 1. Схема синтеза 1,10-фенантролинсодержащих медьфенилсилсесквиоксанов **1** (слева) и **2** (справа).

Второй тип силсесквиоксанового лиганда ($Ph_6Si_7O_{13}(OH)_2$) в структуре **2** ещё более нетривиален. В частности, он не содержит конденсированных циклов и состоит из циклического Si_4 и ациклического Si_3 фрагментов. Кроме того, этот лиганд включает два гидроксильных фрагмента, при этом один из них представляет собой протонированный силанолят $Si-O^-$ (протон выполняет роль иона металла).

¹ A.N. Kulakova *et al.* *Dalton Trans.* **2018**, 47, 15666.

² V. Lorenz *et al.* *Coord. Chem. Rev.* **2000**, 206-207, 321.

³ V. Lorenz *et al.* *Organometallics* **2006**, 25, 5922.

⁴ T. Giovenzana *et al.* *Organometallics* **2010**, 29, 6687.

Появление второго гидроксила значительно более необычно и обусловлено элиминированием фенильной группы у атома кремния и её заменой на группу OH.

Полученные соединения **1** и **2** образуют надмолекулярные структуры за счёт $\pi-\pi$ стэкинговых взаимодействий 1,10-фенантролиновых лигандов (рис. 3). В случае **1** в стэкинг-взаимодействиях принимают участие все четыре 1,10-фенантролиновых лиганда, что приводит к образованию первого для каркасных металлоксилесквиоксанов примера 2D надмолекулярной стэкинговой структуры (рис. 3, справа). Предыдущие примеры стэкинговых надмолекулярных структур представляли собой каркасные металлоксилесквиоксаны, формирующие супрамолекулярные композиции за счёт взаимодействий ароматических систем лигандов, координирующих исключительно ионы меди^{1,5}. В свою очередь соединение **2** (рис. 3, слева), не содержащее ионов натрия, реализует принципиально иной принцип супрамолекулярной ассоциации, а именно: один из 1,10-фенантролиновых лигандов участвует в $\pi-\pi$ стэкинговом взаимодействии с фенильной группой того же каркаса, а два других обеспечивают образование надмолекулярной структуры благодаря стэкинг-взаимодействиям 1,10-фенантролинов соседних каркасов.

На следующем этапе были исследованы взаимодействия различных по стерической нагруженности (фенил- и метил-замещенных) силанолятов натрия с другим бидентатным лигандром – *N,N,N',N'*-тетраметилэтилендиамином (TMEDA). Для успешного формирования кристаллических продуктов варьировали природу сольватирующих лигандов. Так, при использовании PhSi(OMe)₃ в качестве исходного силана с выходом 30% образуется трёхядерный комплекс состава (Ph₈Si₈O₁₅)(Cu)₃(TMEDA)₂·(MeCN)₃ **3** (рис. 4, слева).

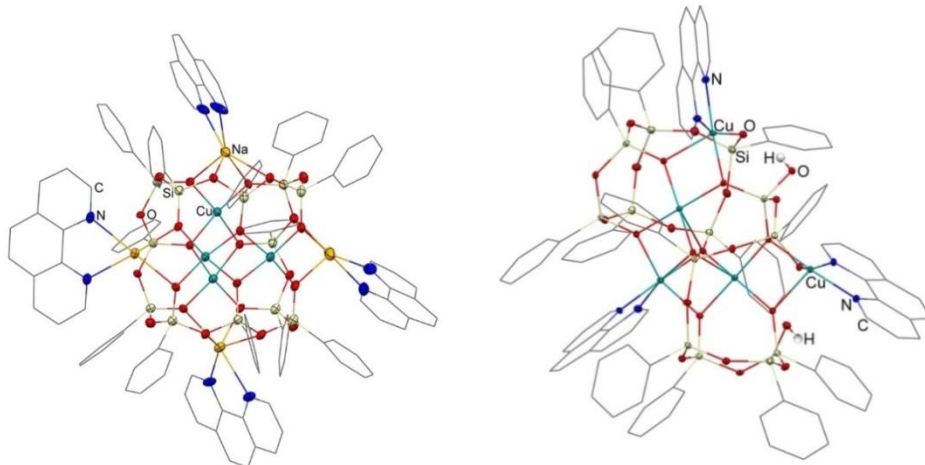


Рисунок. 2. Молекулярная структура **1** (слева) и **2** (справа). Атомы водорода не показаны для наглядности.

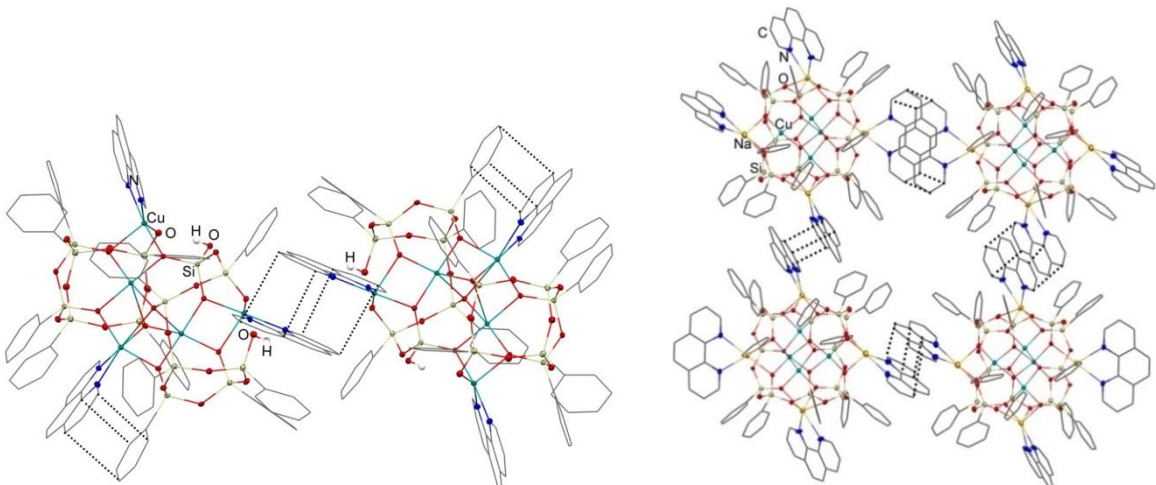


Рисунок. 3. $\pi-\pi$ стэкинговые взаимодействия в соединении **2**: (а) внутримолекулярные $\pi-\pi$ взаимодействия фенил...фенантролин; (б) межмолекулярные $\pi-\pi$ взаимодействия фенантролин... фенантролин, формирующие супрамолекулярную систему (слева). 2D супрамолекулярная упаковка соединения **1** за счёт $\pi-\pi$ стэкинговых взаимодействий 1,10-фенантролинов, координирующих ионы натрия в соседних каркасах (справа). Атомы водорода не показаны для наглядности.

⁵ A.N. Kulakova *et al.* Inorg. Chem. 2017, 56, 15026.

При переходе к $\text{MeSi}(\text{OMe})_3$ происходит образование гексаядерного каркаса $(\text{Me}_6\text{Si}_5\text{O}_{12})_2(\text{Cu})_6(\text{Py})_6\text{-TMEDA } \mathbf{4}$ с выходом 16% (рис. 4, справа).

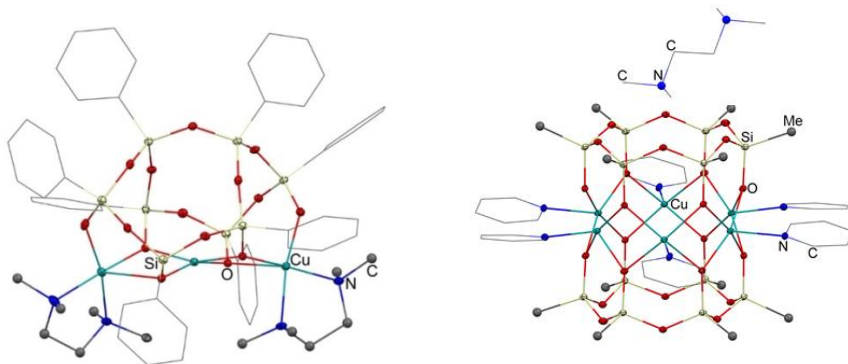


Рисунок. 4. Молекулярная структура **3** (слева) и **4** (справа). Атомы водорода не показаны для наглядности.

Важно отметить, что описанные ранее комплексы с этим лигандом относились к самому распространенному типу металлоксилоксанов – кубаноподобному. В отличие от них каркас **3** сформирован за счёт необычного Si_8 -силоксанолятного лиганда, конденсирующего два пентамерных силоксановых цикла, и двух лигандов TMEDA, координирующих два крайних иона меди в практически линейном фрагменте $\text{Cu}\dots\text{Cu}\dots\text{Cu}$ (рис. 4, слева).

Структура **4** представляет собой распространенный призматический тип каркаса, характеризующийся кольцеобразным расположением ионов металлов. Кроме того, в отличие от соединения **3**, лиганд TMEDA выступает в роли сольватирующего лиганда, а атомы меди в структуре **4** координированы молекулами пиридина (рис. 4, справа).

Затем была исследована возможность получения координационных полимеров, включающих каркасные металлоксилесквиоксаны в качестве повторяющихся элементов структуры. В качестве потенциального связывающего агента было решено использовать пиперазин (Ppz), так как с его участием получено значительное число координационных полимеров других типов⁶. Варьирование условий взаимодействия $\text{Cu}(\text{II})$, Na-фенилсилесквиоксанового каркаса (потенциального «строительного блока») с пиперазином позволило получить два типа соединений. В случае реакции с использованием THF как сольватирующего лиганда был выделен с выходом 9% каркасный фенилсилесквиоксан состава $[(\text{Ph}_5\text{Si}_5\text{O}_{10})_2(\text{Cu})_6(\text{HO})_2(\text{En})_2] \cdot \text{THF}\cdot\text{EtOH } \mathbf{5}$ (рис. 5). Комплекс **5** относится к семейству гетеролигандных соединений, содержащих одновременно N,N- и O- (сесквиоксовые) лиганды.

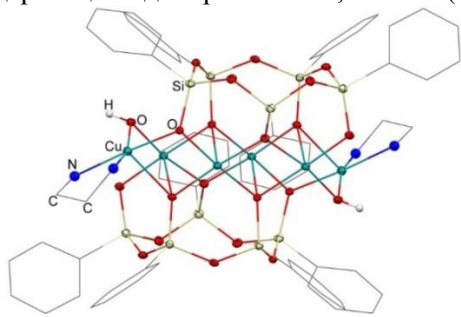


Рисунок. 5. Молекулярная структура **5**. Атомы водорода не показаны для наглядности.

Каркас соединения **5** состоит из двух линейных тримеров Cu_3 , расположенных между двумя пятичленными силоксанолятными лигандами. Наиболее необычной особенностью строения **5** является отсутствие пиперазиновых лигандов и необъяснимое формальной логикой синтеза присутствие двух молекул этилендиамина (En), координирующих ионы меди. Следует отметить, что ранее в научной литературе уже были описаны примеры *in situ* проходящих побочных реакций, сопровождающих синтез металлоксилесквиоксанов – на примерах окисления ТГФ в 2-гидрокситетрагидрофuran и γ -бутиrolактон⁷ и окисления 2-метил-ТГФ в γ -метил- γ -бутиrolактон при синтезе хромсодержащего силесквиоксана⁸. Несмотря на это, наблюдаемое здесь превращение «пиперазин-этилендиамин»

⁶ R.M. Almotawa *et al.* *Inorg. Chem.* **2018**, *57*, 9962.

⁷ F.A. Schax *et al.* *Angew. Chem., Int. Ed.* **2015**, *54*, 1352.

⁸ F. Schax *et al.* *Angew. Chem., Int. Ed.* **2014**, *53*, 12741.

весьма нехарактерно. Кроме того, образование пиперазина из этилендиамина хорошо известно, однако обратный процесс не был описан в литературе. Предположительно реализуется сложный механизм структурной трансформации пиперазина, наиболее вероятно за счёт каталитической активности ионов меди.

Примечательно, что процесс вышеописанной структурной перестройки может сопровождаться ещё более глубокими перегруппировками. Так, для реакции в среде ацетонитрила наблюдали образование комплекса $[(H_3O)_2Cu_7(O)_6(ClO_4)_2(H_2O)_4][ClO_4]_2 \cdot 6H_2O$ **6** с выходом <1 %. Комплекс **6** (рис. 6, справа) также включает в себя этилендиаминовые лиганды, при этом образование этого соединения реализуется за счёт полного элиминирования силлесквиоксановых лигандов. Необычным дополнительным аспектом в строении соединения **6** является образование перхлорат-ионов, тогда как в качестве реагента для синтеза использовался только хлорид меди(II). Учитывая низкий выход **6** и длительное время, необходимое для его кристаллизации (около 2 месяцев), мы попытались упростить синтез, используя этилендиамин напрямую, однако взаимодействие Cu₂Na-фенилсиллесквиоксана и этилендиамина привело к образованию принципиально другого продукта – ионного соединения $\{[(Ph_6Si_6O_7)(OH)(O^-)_3]_2CuEn_2\}_4^+ [CuEn_2(H_2O)_4Na_2EtOH_6]_4^-$ **7** с выходом 69 % (рис. 7, слева). Комплекс **7** – ранее не описанный тип металлоксиллесквиоксана, который формируется за счёт перераспределения различных ионов металлов между лигандами разных типов, при этом часть ионов меди связана с силлесквиоксановыми частицами, а остальные катионы меди (и все катионы натрия) полностью «выведены» из металлоксиллесквиоксановой структуры (рис. 7, слева).

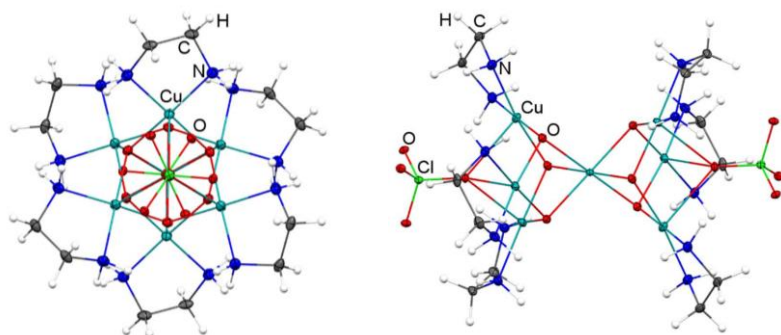


Рисунок. 6. Соединение **6**, вид сверху (справа); молекулярная структура **6** (справа); сольватирующие молекулы THF и EtOH не показаны для наглядности.

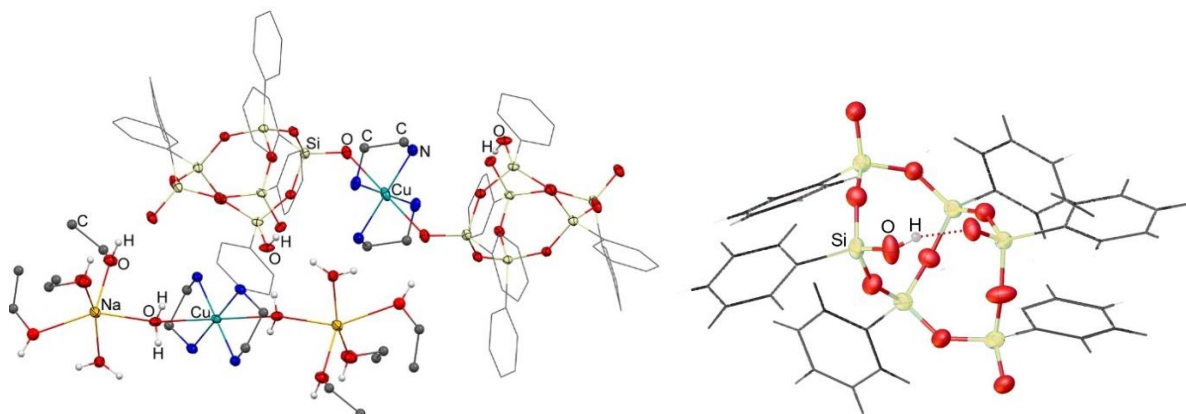


Рисунок. 7. Молекулярная структура **7** (слева). Атомы водорода не показаны для наглядности; структура конденсированного силоксанолятного лиганда $(Ph_6Si_6O_7)(OH)(O^-)_3$ в **7** (справа).

Эти фрагменты образуют цепочки $Na-O-Cu-O-Na$, где каждый натрий координируется тремя молекулами этанола и одной молекулой воды, причём ионы меди этого фрагмента дополнительно координированы двумя этилендиаминовыми лигандами. Силлесквиоксановый лиганд $(Ph_6Si_6O_7)(OH)(O^-)_3$ (рис. 7, справа), который входит в структуру **7**, отличается от всех ранее описанных Si_6 -лигандов, которые когда-либо использовались в качестве синтонов в составе каркасных металлоксиллесквиоксанов. Также важной особенностью фрагмента Si_6 в **7** является его неполиэдрическая структура, построенная из двух конденсированных четырёхзвенных колец. Кроме

того, в Si_6 -силлесквиоксановом лиганде в **7** реализуется достаточно прочная внутримолекулярная водородная связь с расстоянием $\text{O}\cdots\text{H}$ 2,4281(15) Å (рис. 7, справа).

Варьирование стехиометрических соотношений реагентов при синтезе меди-силлесквиоксанового комплекса с этилендиамином позволило также получить необычный продукт – $\text{Ph}_6\text{Si}_6\text{O}_6(\text{OH})_4(\text{O}^-)_2\text{Cu}(\text{En})_2\text{EtOH}$ **8** с выходом 60% (рис. 8), которое является ионным соединением и в котором фрагмент En_2Cu играет роль внешнесферного катиона. Особенностью комплекса **8** является его формально неметаллосилоксановая природа (из-за отсутствия характерного для этого класса соединений ковалентного фрагмента $\text{Si}-\text{O}-\text{M}$).

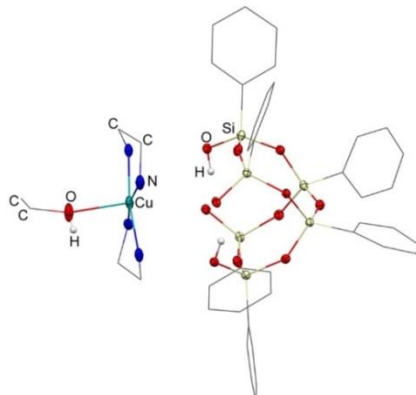


Рисунок. 8. Молекулярная структура **8** (слева). Атомы водорода не показаны для наглядности.

На следующем этапе работы мы исследовали влияние различных сольватных систем при разных температурах на самосборку Cu^{II} -силлесквиоксанов путём проведения параллельных синтезов. На первом этапе проводили последовательные *one-pot* реакции частичного щелочного (NaOH) гидролиза фенилтриметоксисилана с последующим обменным взаимодействием с CuCl_2 (при комнатной температуре в течение 12 ч). В результате был получен ряд каркасных соединений $\{[(\text{PhSiO}_2)_6]_2(\text{Cu})_6\} \cdot 4\text{DMF} \cdot 2\text{THF} \cdot \text{CH}_3\text{CN}$ **9** с выходом 40%; $\{[(\text{PhSiO}_2)_6]_2(\text{Cu})_6\} \cdot 1\frac{1}{2}\text{CH}_3\text{CN} \cdot 2\text{C}_2\text{H}_5\text{OH}$ **10** с выходом 37%; $\{[(\text{PhSiO}_2)_6]_2(\text{Cu})_6\} \cdot 4\text{DMF} \cdot 2\text{C}_5\text{H}_5\text{N} \cdot \text{CH}_3\text{CN}$ **11** с выходом 44%; $\{[(\text{PhSiO}_2)_6]_2(\text{Cu})_6\} \cdot 6\text{C}_5\text{H}_5\text{N} \cdot \text{H}_2\text{O}$ **12** с выходом 46%; $\{[(\text{PhSiO}_2)_6]_2(\text{Cu})_6\} \cdot \text{DMF} \cdot \text{THF}$ **13** с выходом 51% (рис. 9).

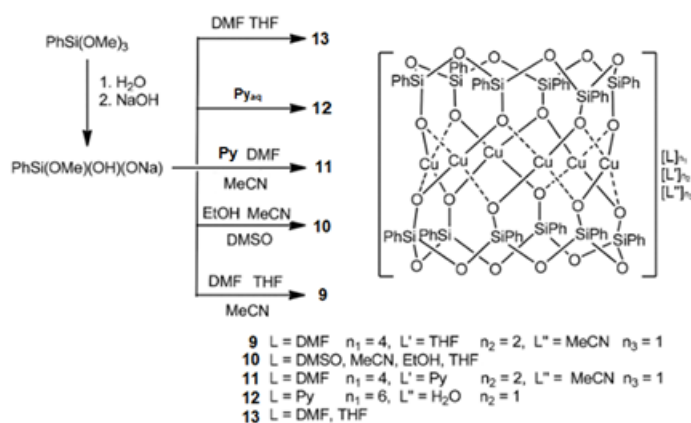


Рисунок. 9. Общая схема синтеза призматических Cu -фенилсиллесквиоксанов **9-13**.

Отмеченная закономерность – различия в сольватных системах, используемых для синтеза/кристаллизации, приводящих к одинаковой нуклеарности – однозначно указывает на высокую стабильность гексаядерного каркаса. Соединения **9-13** содержат комбинированное сольватирующее окружение: DMSO/THF/MeCN для **9**, DMSO/MeCN/EtOH/THF для **10**, DMF/MeCN/Py для **11**, Py/H₂O для **12**, THF/DMF для **13** (рис. 9). В случае соединений **10** и **13** реализуются несколько типов кристаллографически независимых молекул. Соединение **10** включает в себя четыре типа каркаса с различным лигандным обрамлением: один с $\text{DMSO}_4\text{MeCN}_2$, второй с $\text{EtOH}_3\text{DMSO}_2\text{THF}$ и два с DMSO_6 . Соединение **13** включает в себя две структуры с DMF_6 и DMF_4THF_2 сольватными лигандами. Структуры **9-13** значительно различаются по расстоянию между противолежащими ионами меди: от 5.480 Å (для соединения **13**, рис. 10) до 5.928 Å (для соединения **12**, рис. 11). Дополнительной особенностью **12** является инкапсуляция молекулы воды во внутреннюю полость каркаса. При этом известно, что гексаядерные силлесквиоксаны практически не проявляют склонности к

инкапсулированию, за исключением одного примера «улавливания» аниона хлора⁹ **12a** (рис. 11, справа). Необходимо отметить, что наличие Cl^- в полости призмы приводит к сужению каркаса, а в случае соединения **12** происходит его расширение. Важно, что инкапсулирование молекулы воды в **12** приводит к формированию структуры Cu_6 , в то время как в ранних работах было отмечено, что в присутствии пиридиновых лигандов образуются структуры Cu_5 ¹⁰. Таким образом, присутствие воды в сольватной системе, используемой для кристаллизации **12**, изменяет нуклеарность каркаса с Cu_5 на Cu_6 .

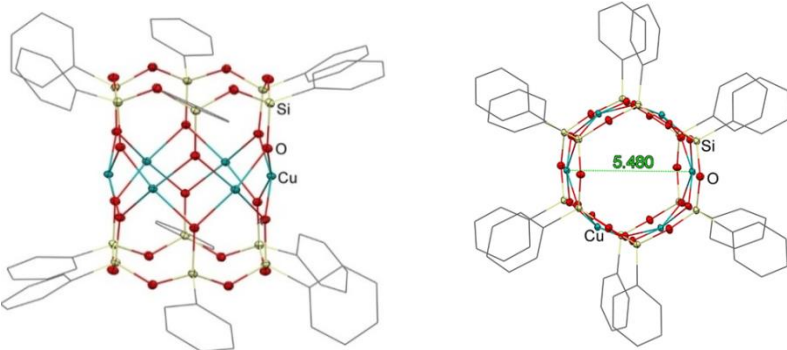


Рисунок. 10. Слева: вид сбоку призматических каркасов **9-13**; справа: вид сверху на призматические структуры **9-13**, показывающий кратчайшее расстояние Cu-Cu (показано на примере **13**). Молекулы сольватов, а также атомы водорода не показаны для наглядности.

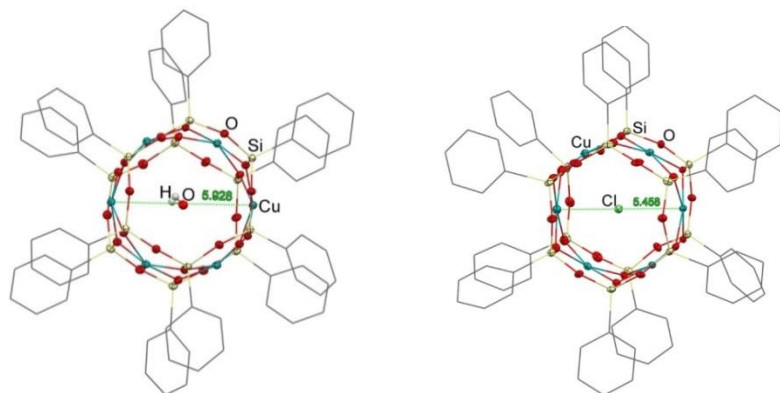


Рисунок. 11. Слева: вид сверху каркас **12** с наибольшим расстоянием Cu-Cu среди **9-13**; справа: вид сверху на структуру **12a**¹¹. Молекулы сольватов, а также атомы водорода не показаны для наглядности

Далее были проведены параллельные синтезы Cu-фенилсилескиоксанов по аналогичной схеме, но при более высоких температурах (рис. 12). Были получены три каркасных соединения $[(\text{Ph}_6\text{Si}_6\text{O}_{12})_2(\text{PrCOO})_4\text{Cu}_8(\text{EtOH})_2(\text{C}_4\text{H}_6\text{O}_2)_3]$ **14** с выходом 14%, $[(\text{Ph}_6\text{Si}_6\text{O}_{12})_2(\text{PrCOO})_4\text{Cu}_8(\text{BuOH})_2(\text{DMSO})_4(\text{H}_2\text{O})_2]$ **15** с выходом 11% и $[(\text{Ph}_4\text{Si}_4\text{O}_8)_2(\text{HCOO})_4\text{Cu}_6(\text{Py})_4]$ **16** с выходом 12%. Все эти соединения включают в качестве структурных компонент продукты окисления растворителей, использовавшихся при синтезе (бутанола, тетрагидрофурана и метанола, соответственно). Таким образом, очевидно, что повышенные температуры способствуют протеканию окислительных процессов. Также вероятно, что ионы меди, присутствующие в растворе, катализируют эти процессы. Соединения **15** и **16** относятся к тому же призматическому семейству, что и структуры **9-13**, и представляют собой октаэдерные силескиоксаны с гексазвездными циклическими лигандами (рис.13; слева **14** и справа **15**). Однако лиганда в **14-15** имеют более эллиптическую форму, чем в случае **9-13** (рис. 14; слева **14** и справа **15**). Четыре бутиратных фрагмента координируют внешние ионы меди, тем самым сохраняя электронейтральность всей структуры. Интересно, что тетрагидрофуран, присутствующий в реакционной среде при синтезе **14**, также претерпевает превращение в γ -бутиrolактон, который затем участвует в координации ионов меди. Принимая во внимание тот факт, что строение соединения **15** практически неискажено по сравнению с **14**, можно сделать вывод, что принципиальную роль в самосборке обеих молекул играют ионы бутирата, а не γ -бутиrolактона.

⁹ A.N. Bilyachenko *et al.* *Chem. - Eur. J.* **2015**, *21*, 8758.

¹⁰ A.N. Bilyachenko *et al.* *J. Organomet. Chem.* **2018**, *867*, 133.

¹¹ A.N. Bilyachenko *et al.* *Chem. - Eur. J.* **2015**, *21*, 8758.

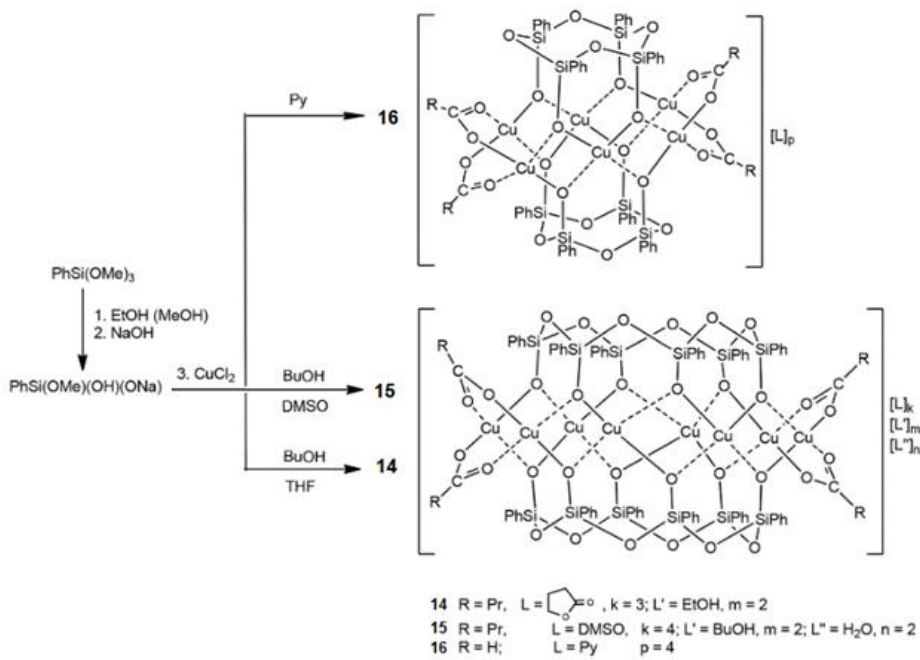


Рисунок. 12. Общая схема ненаправленного синтеза Cu₈- 14, 15 и Cu₆- фенилсилесквиоксанов 16 с *in situ* окисленными фрагментами в составе.

Нужно также отметить, что все три ранее описанных Cu₈-силесквиоксана показали склонность к инкапсуляции, например, пиразина или ацетата натрия¹².

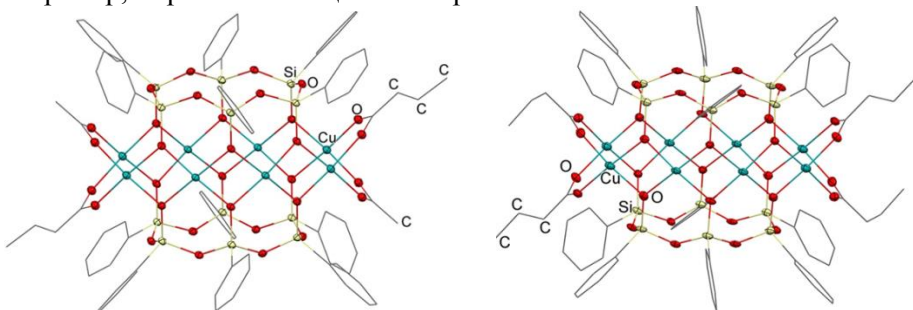


Рисунок. 13. Молекулярная структура (вид сбоку) Cu₈-фенилсилесквиоксанов 14 (слева) и 15 (справа). Координированные молекулы γ -бутиrolактона, ДМСО, 1-бутанола и воды, а также атомы водорода не показаны для наглядности.

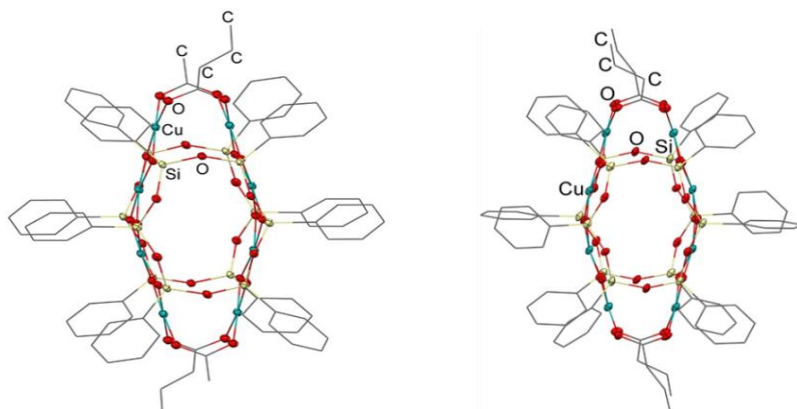


Рисунок 14. Молекулярная структура (вид сверху) Cu₈-фенилсилесквиоксанов 14 (слева) и 15 (справа). Координированные молекулы γ -бутиrolактона, ДМСО, 1-бутанола и воды, а также атомы водорода не показаны для наглядности.

Однако несмотря на эту тенденцию, октаядерные каркасы 14-15 не содержат каких-либо инкапсулированных частиц, что объясняется очевидными стерическими ограничениями – самое

¹² A.N. Bilyachenko *et al.* Cryst. Growth Des. 2018, 18, 2452.

большое расстояние Cu-Cu для «внутренних» ионов меди (находящихся в пределах поперечного сечения силлесквиоксановых лигандов) составляет только 5.384 Å для **14** и 5.596 Å для **15**. В случае соединения **16**, синтезированного из раствора метанола и закристаллизованного из пиридина (рис. 12 и 15), наблюдалось образование формиат-анионов, координирующих два противолежащих иона меди так же, как и для **14-15**. Примечательно, что нуклеарность комплекса **16** ниже (Cu_6), что сопровождается образованием меньших по размеру Si_4 -циклических лигандов (рис. 15). Ещё одной особенностью в строении **16** является наличие дополнительной координации между молекулами пиридина и четырём «внешними» ионами меди, находящимися вне пределов поперечного сечения силлесквиоксановых лигандов, в то время как **14-15** наблюдается только O-координация ионов Cu^{II} .

Для дальнейшего исследования влияния сольватов на синтез Cu-силлесквиоксанов был выбран 1,4-диоксан. Ранее были описаны металлоксиллесквиоксаны с диоксановыми лигандами, однако в отличие от этих работ нами было обнаружено, что более жёсткие условия синтеза способствуют полному удалению силлесквиоксановой компоненты (рис. 16). В результате были получены три комплекса: $\text{Cu}(\text{HOCH}_2\text{CH}_2\text{OCH}_2\text{COO})_2$ **17** с выходом 7%, $\text{Cu}(\text{HOCH}_2\text{CH}_2\text{OCH}_2\text{COO})(\text{HCOO})(\text{C}_{10}\text{H}_8\text{N}_2)$ **18** с выходом 10%, $\text{Cu}(\text{HOCH}_2\text{CH}_2\text{OCH}_2\text{COO})(\text{C}_{10}\text{H}_8\text{N}_2)_2$ **19** с выходом 11%.

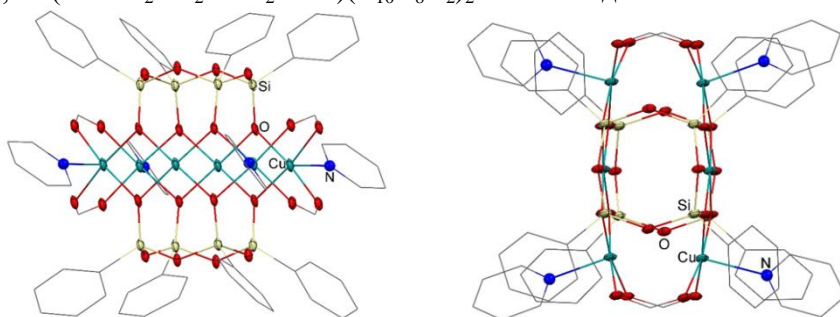


Рисунок 15. Вид сбоку **16** (слева) и сверху (справа). Непосредственно не связанные с каркасом сольваты, а также атомы водорода не показаны для наглядности.

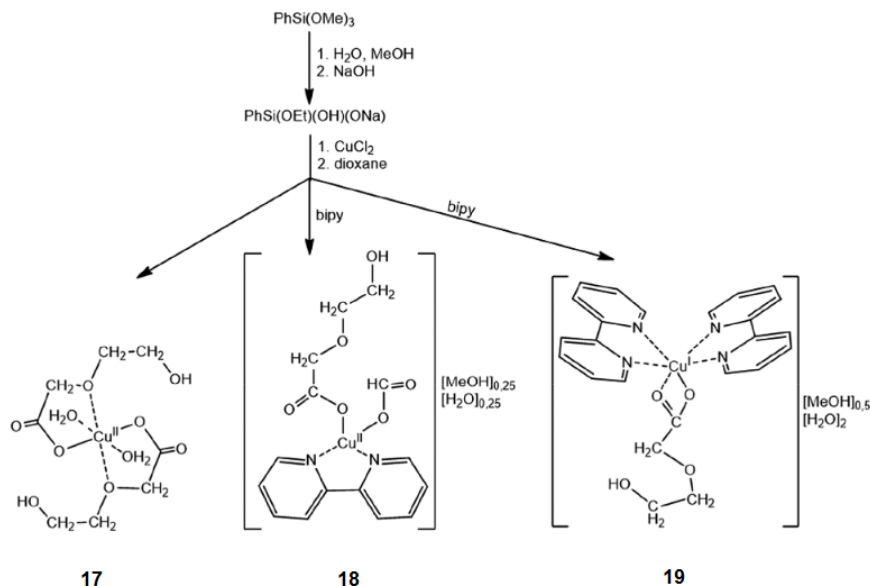


Рисунок 16. Общий метод синтеза моноядерных комплексов **17-19**, содержащих окисленные 1,4-диоксановые фрагменты.

Для формирования **18-19** было применено дополнительное комплексообразование с 2,2'-бипиридином. Особенностью соединений **17-19** является наличие окисленных производных 1,4-диоксана (гидроксикарбоновых кислот), которые координируют ионы меди с образованием моноядерных координационных соединений. Координация ионов $\text{Cu}(\text{II})$ происходит таким образом, что самосборка медного силлесквиоксана становится невозможной, вместо этого образуется соединение **17** с гексакоординированными ионами меди. В присутствии же дополнительного N,N-лиганда (2,2'-бипиридина) были получены комплексы **18-19** с более сложными структурами. «Двойное окисление» диоксана и метанола приводит к гетеролептическому соединению **18** с пентакоординированными ионами меди, в результате чего μ -мостиковые формиатные лиганды способствуют образованию 1D координационного полимера в форме «зигзагообразной» цепи. Дополнительные межцепочечные

взаимодействия этого соединения реализуются через π - π стэкинг-взаимодействия между бипиридиновыми лигандами. Соединение **19** было синтезировано по аналогии с **18** при варьировании стехиометрических соотношений реагентов. Как и **18**, координационное соединение **19** образует надмолекулярную структуру за счёт π - π стэкинг-взаимодействий между бипиридиновыми лигандами.

В дальнейшем был проведён целенаправленный синтез комплексов меди с сил- и гермсесквиоксановыми лигандами с использованием двух типов реагентов – ацетата меди (в случае метилсилесквиоксана) и формиата меди (в случае фенилгермсесквиоксана). В результате были выделены гексаядерные каркасы $[(Me_4Si_4O_8)_2(MeCOO)_4Cu_6(DMF)_4] \cdot DMF \cdot 0.5H_2O$ **20** с выходом 59% и $[(Ph_4Ge_4O_8)_2(HCOO)_4Cu_6(DMF)_4] \cdot 2DMF$ **21** с выходом 54% (рис. 17). Соединения **20-21** имеют геометрию, схожую с описанной для комплекса **16**. Вероятно, это связано со смешанными (N-, O-) типами координации ионов меди во всех трёх соединениях (в роли пиридина в **16** выступают молекулы ДМФА в **20-21**).

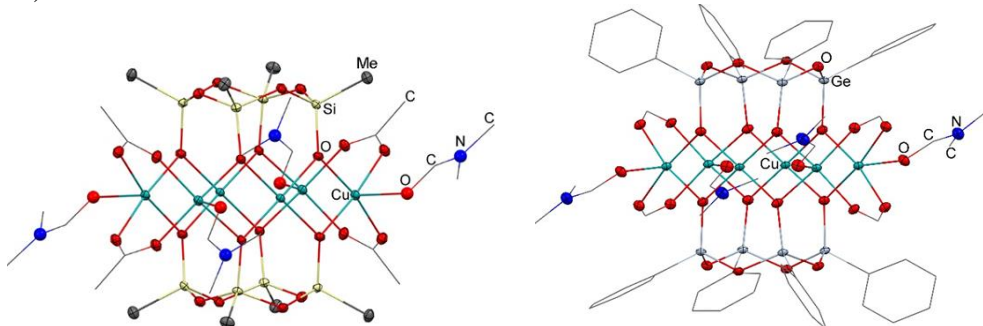


Рисунок 17. Вид сбоку на молекулярную структуру **20** (слева) и **21** (справа). Непосредственно не связанные с каркасом сольваты, а также атомы водорода не показаны для наглядности.

Затем была исследована возможность использования CsOH и RbOH в качестве исходных реагентов для получения фенилсилоксанолятов. Учитывая, что коммерчески доступные гидроксиды цезия и рубидия содержат ~50% воды, представлялось проблемой при получении фенилзамещенных металлоксилесквиоксанов возможное образование нерастворимых осадков. Чтобы избежать этого, взаимодействие фенилсилоксанолята цезия и хлорида меди(II) проводили в системе 1-бутиanol/толуол, которая позволяет произвести азеотропную отгонку воды (рис. 18). В результате синтеза было получено соединение $\{ (PhSiO_2)_6 \}_2(Cu)_4(Cs)_4(BuOH)_2 \cdot \{ (PhSiO_2)_6 \}_2(Cu)_4(Cs)_4(BuOH)_{2.5}(H_2O)_{6.5} \cdot nBuOH$ **22** с выходом 18 %.

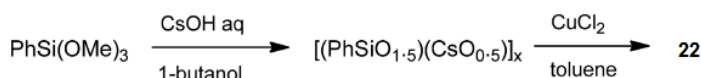


Рисунок 18. Общая схема синтеза Cu_4Cs_4 -фенилсилесквиоксана **22**, включающая стадию азеотропной отгонки воды.

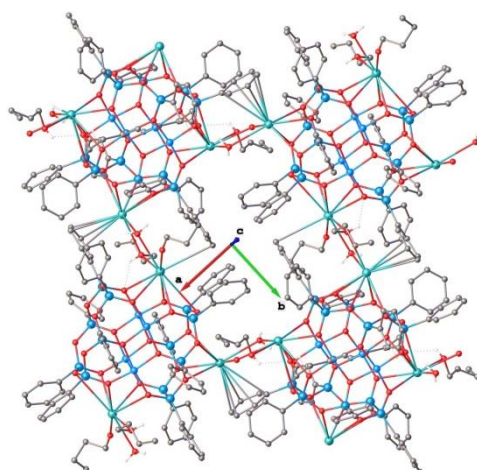


Рисунок 19. Структура 2D координационного полимера **22** (непосредственно не связанные с каркасом сольваты, а также атомы водорода не показаны для наглядности). Цветовой код: Cu – голубой цвет, O – красный, C – серый, Cs – бирюзовый, Si – синий.

Соединение **22** относится к «сэндвичевому» типу геометрии, в структуру которого входят два шестичленных циклических силлесквиоксановых лиганда, координирующих центральное ядро Cu_4O_4 . Четыре иона цезия в **22** расположены попарно в аксиальном и экваториальном положениях по отношению к каркасу, что обеспечивает формирование 2D координационного полимера (рис. 19). Соседние молекулы связаны через ромбовидные звенья Cs_2O_2 между аксиальными и экваториальными ионами Cs, в которых атомы O принадлежат либо молекулам воды, либо бутанола. Большой размер ионов Cs способствует реализации металлоценовых Cs $\cdots\pi$ -взаимодействий между ионами цезия и фенильными группами соседних каркасов. Важной особенностью является присутствие молекул воды, координирующих каркасную структуру **22**. Это означает, что после азеотропной отгонки воды формирование кристаллической структуры **22** потребовало поглощение необходимого количества воды из атмосферы для заполнения координационной сферы ионов цезия. Таким образом, очевидно, что образование фенилобрамленных металлосиллесквиоксанов возможно и из растворов, содержащих 50% водн. CsOH. Это позволило перейти к функциональной схеме синтеза с использованием этанола в качестве базового растворителя и варьированию природы дополнительных сольватов. Этот удобный подход позволил синтезировать четыре медьцезийсиллесквиоксановых координационных полимера: $[(\text{PhSiO}_2)_6]_2(\text{Cu})_4(\text{Cs}_{0.5})_4(\text{EtOH})_3(\text{H}_2\text{O})_n$ **23** с выходом 45%, $[(\text{PhSiO}_2)_{12}(\text{Cu})_4(\text{Cs})_4(\text{DMF})_3(\text{BuOH})]_n \cdot 0.5n\text{DMF}$ **24** с выходом 37%, $[(\text{PhSiO}_2)_{12}(\text{Cu})_4(\text{Cs})_4(\text{DMSO})_5]_n$ **25** с выходом 22% и $[(\text{PhSiO}_2)_{12}(\text{Cu})_4(\text{Cs})_4(\text{DMSO})_2(\text{EtOH})_{3.5}]_n \cdot n\text{EtOH}$ **26** с выходом 28% (рис. 20 и 21).

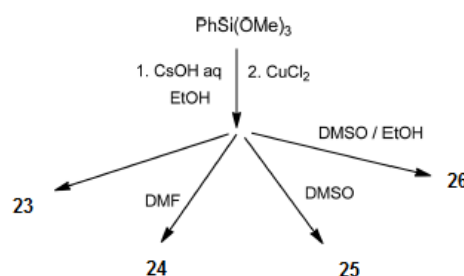


Рисунок 20. Общая схема синтеза Cu_4Cs_4 -фенилсиллесквиоксанов **23-26**.

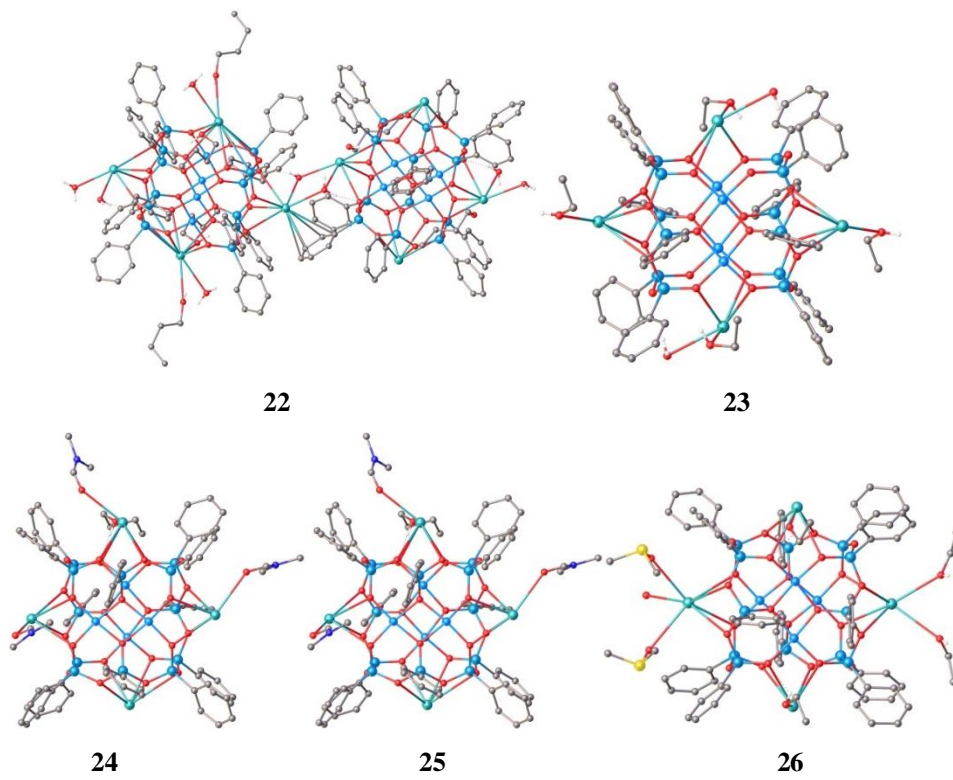


Рисунок 21. Два типа каркасов Cu_4Cs_4 в **22-26** с заслонённой конфигурацией (**22** и **23**, верхний ряд) и заторможенной конфигурацией (**24-26**, нижний ряд) Cu_2O_2 (все атомы водорода и разупорядоченные фрагменты не показаны для наглядности. Cu – голубой цвет, O – красный, C – серый, Cs – бирюзовый, Si – синий, S – жёлтый).

Нуклеарность соединений **23-26** аналогична структуре **22**, при этом по типу молекулярной архитектуре соединения относятся к двум различным группам. Каркас **23** с лигандами EtOH/H₂O относится к «сэндвичевому» типу, подобному **22**, и включающему два лиганда состава (PhSiO₂)₆. Соединения **24-26** с дополнительными лигандами-сольватами (DMF/BuOH в случае **24**, DMSO в случае **25** и **26**) относятся к глобулярному типу геометрии, включающему один крупный силлесквиоксановый лиганд (PhSiO₂)₁₂. Это структурное различие также влияет на тип расположения атомов меди в оксокластере Cu₄O₄: пары фрагментов Cu₂O₂ имеют заслонённую конфигурацию в соединениях **22** и **23**, и заторможенную конфигурацию в **24**, **25** и **26** (рис. 21). Все полученные соединения **22-26** образуют структуры координационных полимеров: **22** – 2D, **23** – 3D, **24** – 2D, **25** – 2D, **26** – 1D.

При переходе к RbOH были синтезированы три первых примера рубидийсиллесквиоксанов – координационные полимеры [{(PhSiO₂)₆}₂(Cu)₄(Rb)₄(EtOH)₂(H₂O)₂]_n·2nEtOH **27** с выходом 41%, [(PhSiO₂)₁₂(Cu)₄(Rb)₄(DMF)₄(EtOH)(H₂O)_{0.33}]_n·nEtOH **28** с выходом 30% и **29** [(PhSiO₂)₁₂(Cu)₄(Rb)₄(DMF)₂(EtOH)₃(H₂O)₂]_n с выходом 26% (рис. 22 и 23). Соединение **27**, полученное из системы растворителей EtOH/H₂O аналогично Cs-содержащему предшественнику **23**, реализует сэндвичевый тип молекулярной архитектуры и те же принципы межкаркасного связывания – в цепи, слои, и наконец в 3D структуру. В свою очередь два DMFA-содержащих продукта **28** и **29** (рис. 23) представляют собой глобулярный тип каркасных структур с аналогичными координационнopolимерными 2D сетками.

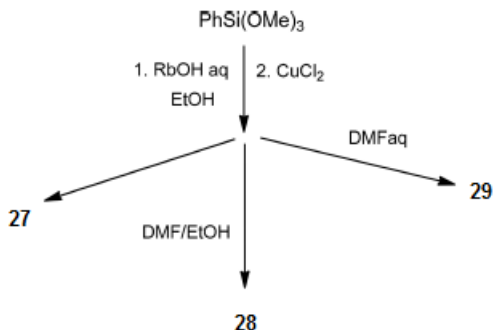


Рисунок 22. Общая схема синтеза Cu₄Rb₄-фенилсиллесквиоксанов **27-29**.

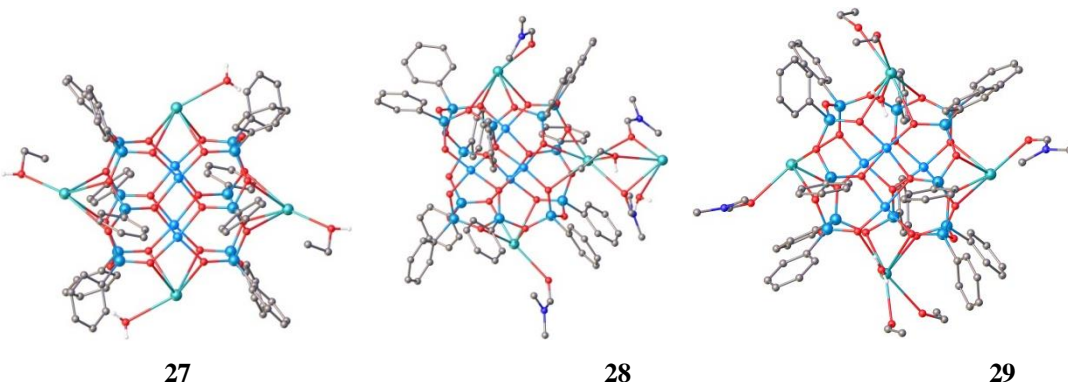


Рисунок 23. Два типа каркасов Cu₄Rb₄ в **27-29** с заслоненной (**27**) и заторможенной (**28**, **29**) конфигурациями Cs₂O₂ (все атомы водорода и разупорядоченные фрагменты не показаны для наглядности. Цветовой код: Cu – голубой цвет, O – красный, C – серый, Rb – бирюзовый, Si – синий).

2. Синтез и структура Mn-содержащих силлесквиоксанов.

Для синтеза Mn-силлесквиоксановых комплексов был выбран удобный подход, включающий в себя (*i*) щелочной гидролиз PhSi(OEt)₃ с последующим (*ii*) обменным взаимодействием промежуточных силоксанолятов [PhSi(O)ONa]_x с MnCl₂. Этот синтетический подход позволил выделить два различных типа каркасов (в случае синтеза **31** реакцию вели в присутствии 1,4-диоксана): [(Ph₆Si₆O₁₂)₂Mn^{II}₂Mn^{III}₂Na₆O₂(EtOH)₉(MeOH)_{0.5}(H₂O)_{1.5}]·2EtOH **30** с выходом 73%, [(Ph₆Si₆O₁₂)₂Mn^{II}₆Cl(C₄H₈O₂)₃(H₂O)₃][Na(C₄H₈O₂)_{0.875}(H₂O)_{5.125}]·0.75C₄H₈O₂ **31** с выходом 60%.

Соединение **30** имеет геометрию асимметричного «сэндвича», ранее не наблюдавшуюся для марганецсиллесквиоксанов (рис. 24, слева). Два шестичленных лиганда (PhSiO₂)₆ координируют центральный металлокомплекс Mn₄Na₄. Этот пояс включает два иона Mn^{II} и два иона Mn^{III}, которые образуют внутренний ромбовидный фрагмент. В свою очередь четыре иона натрия образуют внешний прямоугольный узел. Остальные ионы натрия располагаются в «краун-эфирных» позициях

над силесквиоксановыми лигандами. 16 положительных зарядов (от двух ионов Mn(II), двух ионов Mn(III) и шести ионов Na) не могут быть скомпенсированы 12 отрицательными зарядами (от двух $[Ph_6Si_6O_{12}]_6$ циклов). Дополнительные носители отрицательных зарядов в комплексе **30** – два инкапсулированных кислорода O^{2-} . Они реализуют искажённо тетраэдрическое окружение благодаря координации с тремя ионами марганца и одним ионом натрия. В результате ионы натрия в «краун-эфирных» позициях находятся в необычном искажённом гексагонально-бипирамидальном окружении, в то время как остальные ионы натрия обладают искажённой тетрагонально-пирамидальной координацией. Четыре иона марганца принимают типичную искажённо октаэдрическую ($[4+2]$ в случае Mn(III) и $[5+1]$ в случае Mn(II)) геометрию. Важно отметить, что комплекс **30** содержит ионы марганца в разных степенях окисления за счёт спонтанного окисления ионов Mn^{II} до ионов Mn^{III}.

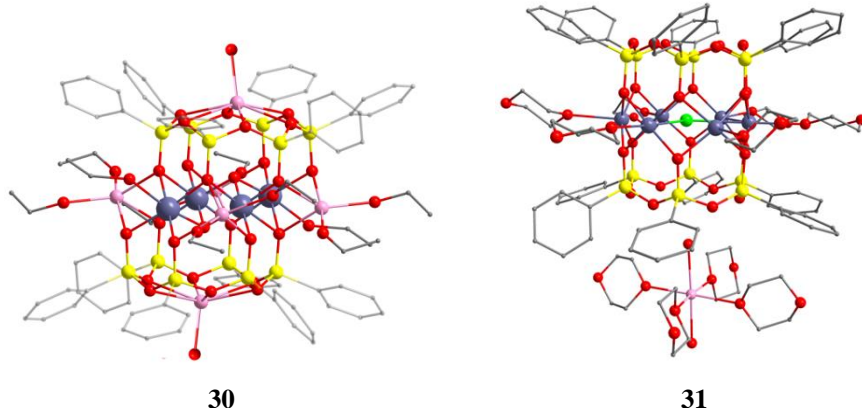


Рисунок 24. Молекулярная структура Mn_4Na_6 -фенилсилесквиоксана **30** (слева) и Mn_6 -фенилсилесквиоксана **31** (справа). Цветовой код: O – красный, Si – жёлтый, Na – розовый, Mn – тёмно-синий, Cl – зелёный. Непосредственно не связанные с каркасом сольваты, а также атомы водорода не показаны для наглядности.

В отличие от синтеза **30**, диоксансодержащее соединение **31** было получено в условиях полного замещения ионов натрия силанолята $[PhSi(O)ONa]_x$. Молекулярная структура **31** представляет собой призматический гексаядерный каркас (рис. 24, справа). Нужно отметить, что каркас **31** не содержит силанолятных фрагментов $SiONa$, которые способствуют агрегации координационных полимеров каркасных металлоксилесквиоксанов диоксановыми мостиками^{13,14}. Соединение **31** содержит только один (внешнесферный) ион натрия (в составе Na^+Cl^- фрагмента), а хлорид-анион инкапсулирован во внутреннюю полость каркаса. Хлорид-анион расположен практически равноудаленно от всех ионов марганца (2.808(6)-3.007(8) Å), что приводит к реализации ими искажённо октаэдрической [4+2] координационной геометрии.

Специфическая октаэдрическая координация иона натрия молекулами диоксана и воды способствует формированию 1D надмолекулярной структуры **31** (рис. 25) за счёт водородных связей между координированными молекулами воды и атомами кислорода силесквиоксановых лигандов.

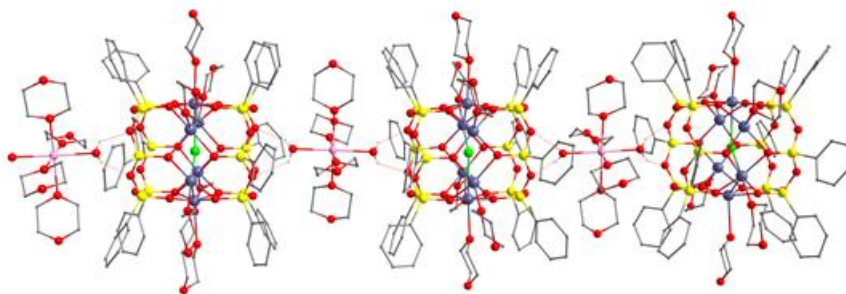


Рисунок 25. Фрагмент 1D координационного полимера **31**. Цветовой код: O – красный, Si – жёлтый, Na – розовый, Mn – тёмно-синий, Cl – зелёный. Атомы водорода не показаны для наглядности.

Для расширения ряда марганецсилесквиоксанов были проведены исследования влияния донорных хелатирующих лигандов – N,N-лигандов. На первом этапе в качестве азотсодержащего лиганда был использован 1,10-фенантролин. Дополнительная возможность настройки этого синтеза заключается в варьировании загрузки 1,10-фенантролина (рис. 26). В результате были выделены

¹³ A.N. Bilyachenko *et al.* *Dalton Trans.* **2017**, *46*, 12935.

¹⁴ A.N. Bilyachenko *et al.* *Inorg. Chem.* **2017**, *56*, 12751.

следующие каркасные соединения: $[(\text{Ph}_6\text{Si}_6\text{O}_{12})_2\text{Mn}^{\text{II}}\text{Mn}^{\text{III}}_3\text{Na}_2\text{Cl}(\text{Phen})(\text{Py})_2(\text{DMF})_{2.5}] \cdot 1\frac{1}{2}\text{DMF}$ **32** с выходом 60%, $[(\text{Ph}_5\text{Si}_5\text{O}_{10})_2\text{Mn}^{\text{II}}_3\text{Mn}^{\text{III}}_2\text{Cl}(\text{OH})(\text{Phen})_2(\text{DMF})_2] \cdot 2\frac{1}{3}\text{EtOH}$ **33** с выходом 48%, $[(\text{Ph}_4\text{Si}_4\text{O}_8)_2\text{Mn}^{\text{II}}_2\text{Mn}^{\text{III}}_2(\text{OH})_2(\text{Phen})_4] \cdot 4\frac{1}{2}\text{DMF}$ **34** с выходом 39%. Соединение **32**, (с сольватами ДМФА/пиридин) образует шестиядерный (Mn_4Na_2) каркас призматического типа с двумя шестичленными силесквиоксановыми лигандами (рис. 27). Соединение **32**, так же, как и **30**, содержит ионы марганца в различной степени окисления. Кроме того, координационное окружение ионов Mn^{III} октаэдрическое ([4+2]), в то время как ионы Mn^{II} имеют тригонально-призматическую геометрию. Ионы натрия находятся в сильно искаженной октаэдрической ([5+1]) геометрии. Все эти факторы, как (*i*) различные степени окисления ионов Mn, (*ii*) присутствие ионов натрия в центральном металлооксидном поясе и (*iii*) инкапсулированный хлорид-ион, приводят к значительному искажению геометрии шестичленных силоксановых циклов. Если для циклического фрагмента на основе Si_6 в **31** реализуется почти правильный шестиугольник – угол Si-Si-Si близок к 120° – то в случае **32** величины углов принципиально отличаются [$116.8(2)$ - $124.6(2)^\circ$] (рис. 27, справа).

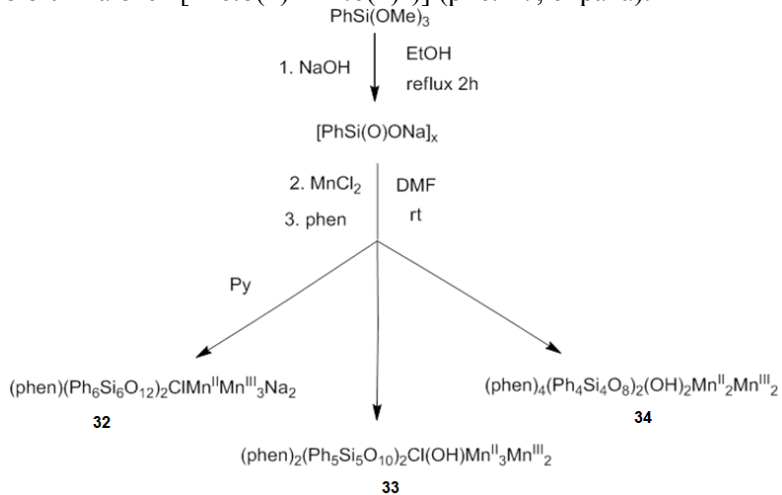


Рисунок 26. Общий метод получения комплексов фенилсилесквиоксана марганца с фенантролином **32-34**. Сольватирующие лиганды не показаны для наглядности.

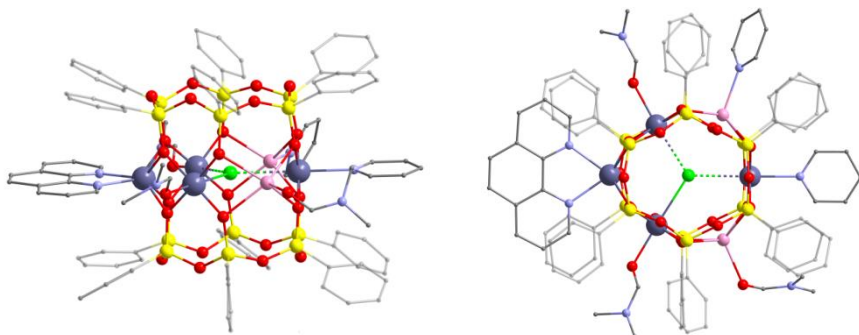


Рисунок 27. Молекулярная структура Mn_4Na_2 -фенилсилесквиоксана **32** (слева); вид сверху **32** (справа). Цветовой код: O – красный, Si – жёлтый, Na – розовый, Mn – тёмно-синий, Cl – зелёный. Атомы водорода не показаны для наглядности.

При повышении загрузки 1,10-фенантролина наблюдали формирование ещё одного необычного типа металлокаркаса – соединения **33** (рис. 28). Этот каркас, как и **32**, обладает призматической геометрией с поясом Mn_5 , находящимся между двумя пятичленными силесквиоксановыми циклическими $(\text{PhSiO}_2)_5$ лигандами. Кроме того, комплекс **33**, как и **32**, содержит ионы металлов в различных степенях окисления – три иона Mn^{II} и два иона Mn^{III} . Примечательно, что в отличие от соединения **32** (с инкапсулированным хлоридом), в структуре **33** реализуется внешнесферное расположение Cl^- -аниона. Вместо этого внутренняя полость **33** занята частицей HO^- (рис. 28, справа). Примечательно, что в каркасе **33** отмечается та же особенность инкапсулирования, что и для комплекса **32** – инкапсулированная частица связана только с ионами Mn^{III} . В результате координационное окружение ионов Mn^{III} становится [4+2]-октаэдрическим. В свою очередь, ионы Mn^{II} , координированные фенантролиновыми лигандами, характеризуются тригонально-призматической геометрией, а ион Mn^{II} , связанный с хлоридом, реализует тетрагонально-пирамидальную геометрию. Кроме того, в кристалле **33** наблюдается образование надмолекулярной

«димеризации» за счёт π - π стэкинг-взаимодействий 1,10-фенантролинов, принадлежащих соседним каркасам.

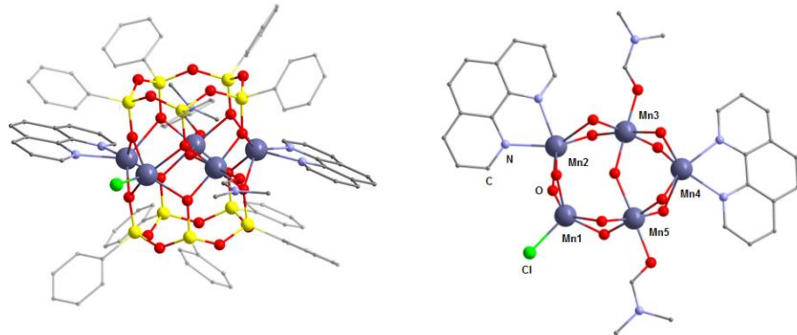


Рисунок 28. Молекулярная структура Mn_5 -фенилсилсесквиоксана **33** (слева); вид сверху на ядро $Mn_5(OH)ClPhen_2DMF_2$ соединения **33** (справа). Цветовой код: О – красный, Si – жёлтый, Na – розовый, Mn – тёмно-синий, Cl – зелёный. Атомы водорода не показаны для наглядности.

При ещё большем увеличении загрузки 1,10-фенантролина было получено ещё одно нехарактерное для металлокаркасных соединений – соединение **34** (рис. 29, слева), которое содержит циклические четырёхчленные силесквиоксановые лиганды. Все ионы марганца соединения **34** характеризуются искаженной октаэдрической геометрией, в то время как их роль различна: ионы Mn^{III} играют роль «замыкающего агента», а ионы Mn^{II} выступают в качестве линкера между силесквиоксановыми лигандами. Кроме того, подобно **33**, комплекс **34** образует димерные надмолекулярные «агрегаты» в результате π - π стэкинг-взаимодействий 1,10-фенантролинов между соседними каркасами.

При переходе к другому типу хелатирующего N,N-лиганда – 4,7-дифенил-1,10-фенантролину (батофенантролину) – был получен аналог соединения **35** – каркасный комплекс $[(Ph_4Si_4O_8)_2Mn^{II}_2Mn^{III}_2(OH)_2(BPhen)_4] \cdot 4\% DMF$ с выходом 40% (рис. 29, справа). Основным отличием этого соединения от **34** является дискретная структура, обусловленная стерическими затруднениями, вносимыми дополнительными фенильными группами батофенантролина.

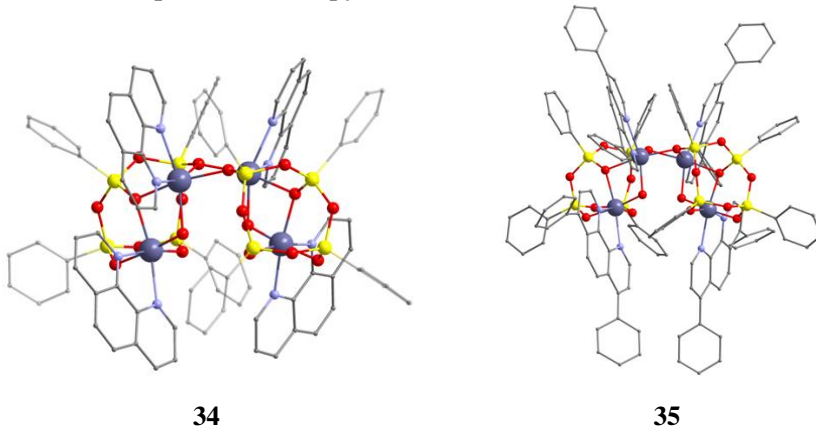


Рисунок 29. Молекулярные структуры Mn_4Phen_4 -фенилсилсесквиоксана **34** (справа) и Mn_4Bphen_4 -фенилсилсесквиоксана **35** (справа). Цветовой код: О – красный, Si – жёлтый, Na – розовый, Mn – тёмно-синий. Атомы водорода не показаны для наглядности.

3. Исследование катализитических свойств Си-силесквиоксанов в реакциях окисления алканов и спиртов

На следующем этапе была исследована катализитическая активность ряда полученных медиодержащих силесквиоксанов в гомогенных процессах окисления алканов и спиртов. Комплексы $[(Ph_4Si_{12}O_{24})Cu_4Na_4(phen)_4] \cdot (THF)_8$ **1**, $[(Ph_6Si_6O_{11})(Ph_6Si_7O_{13}(OH)_2)Cu_5(phen)_3] \cdot (DMF)_2$ **2**, $\{[(Ph_6Si_6O_7)(OH)(O)_3]_2CuEn_2\}_4^+ [CuEn_2(H_2O)_4Na_2EtOH_6]_4^-$ **7**, $[(Me_4Si_4O_8)_2(MeCOO)_4Cu_6(DMF)_4] \cdot DMF \cdot 0.5H_2O$ **20** и $[(Ph_4Ge_4O_8)_2(HCOO)_4Cu_6(DMF)_4] \cdot 2DMF$ **21**, $\{[(PhSiO_2)_6]_2(Cu)_4(Cs_{0.5})_4(EtOH)_3(H_2O)\}_n$ **23** и $\{[(PhSiO_2)_6]_2(Cu)_4(Rb)_4(EtOH)_2(H_2O)_2\}_n \cdot 2nEtO$ **27** были протестированы как катализаторы окисления циклогексана 50% водным раствором H₂O₂ в мягких условиях (температура 50–60 °C) в MeCN как с использованием сокатализатора (HNO₃ или CF₃CO₂H), так и без сокатализатора (рис. 30). Выходы продуктов окисления (циклогексанона **Б** и циклогексанола **В**) после восстановления

образующегося циклогексилгидропероксида **A** трифенилfosфином (метод Шульпина¹⁵) составили 12–45% (рис. 30).

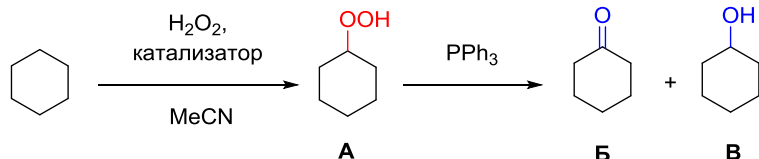


Рисунок 30. Схема окисления циклогексана H_2O_2 в присутствии катализаторов **1, 2, 7, 20, 21, 23, 27**.

Стоит отметить, что выход в 45%, достигнутый при использовании **27**, является одним из наиболее высоких значений, полученных при катализируемом комплексами металлов окислении циклогексана H_2O_2 , в то время как выходы обычно не превышают 5–20 %^{16,17}.

Кроме того, катализаторы $[(\text{Ph}_6\text{Si}_6\text{O}_{12})_2(\text{PrCOO})_4\text{Cu}_8(\text{EtOH})_2(\text{C}_4\text{H}_6\text{O}_2)_3]$ **14**, $[(\text{Me}_4\text{Si}_4\text{O}_8)_2(\text{MeCOO})_4\text{Cu}_6(\text{DMF})_4]\cdot\text{DMF}\cdot0.5\text{H}_2\text{O}$ **20** и $[(\text{Ph}_4\text{Ge}_4\text{O}_8)_2(\text{HCOO})_4\text{Cu}_6(\text{DMF})_4]\cdot2\text{DMF}$ **21** были протестированы в реакции окисления H_2O_2 на примере других циклоалканов (C_5 , C_7 , C_8). Наибольшие выходы продуктов окисления были получены для циклогептана и циклооктана при использовании **21** (26% и 25% соответственно).

В дальнейшем комплексы **1**, **2** и **27** были использованы в качестве катализаторов окисления спиртов (концентрация спирта – 0.5 М) в присутствии водного раствора *tert*-бутилгидропероксида (T-HYDRO, 1.5 М) в MeCN (температура 50 °C, концентрация катализаторов – 5×10^{-4} М, 10 ч) до соответствующих кетонов. 1-фенилэтанол может быть окислен в присутствии **1** и **2** в ацетофенон с высокими выходами после обработки PPh_3 (90% и 92% соответственно). Циклогексанол и гептанол-2 менее эффективно окисляются при использовании **1** и **2**. Комплекс **27** при тех же параметрах реакции даёт следующие выходы кетонов: ацетофенон – 80%, циклогексанон – 56%, 2-гептанон – 44%.

4. Исследование катализитических свойств Cu-силесквиоксанов в реакции окислительного гидрокарбоксилирования циклоалканов

Комплексы $\{(\text{PhSiO}_2)_6\}_2(\text{Cu})_4(\text{Cs}_{0.5})_4(\text{EtOH})_3(\text{H}_2\text{O})\}_n$ **23** и $\{(\text{PhSiO}_2)_6\}_2(\text{Cu})_4(\text{Rb})_4(\text{EtOH})_2(\text{H}_2\text{O})_2\}_n\cdot2\text{nEtO}$ **27** были протестированы как катализаторы реакции гидрокарбоксилирования циклоалканов. Схема реакции заключается во взаимодействии циклоалкана C_nH_{2n} сmonoоксидом углерода (под давлением 20 атм), воды как источника гидроксил-анионов и пероксадисульфата калия в качестве окислителя. Это приводит к удлинению углеродной цепи с образованием $\text{C}_n\text{H}_{2n-1}\text{COOH}$ как основного продукта реакции. В результате катализитического скрининга было показано, что **27** имеет большую активность, чем **23** (табл. 1). В реакцию могут быть введены $\text{C}_5\text{-C}_8$ циклоалканы (цикlopентан, циклогексан, циклогептан и циклооктан) и выход соответствующих $\text{C}_6\text{-C}_9$ циклоалканкарбоксильных кислот достигает 38% (табл. 1). Побочная реакция – образование спиртов и кетонов за счёт частичного окисления циклоалкана – происходит лишь в незначительной степени.

Таблица 1. Cu-катализируемое гидрокарбоксилирование циклоалканов $\text{C}_5\text{-C}_8$

Циклоалкан	Cu-катализатор	Выход (%)			
		Циклоалканкарбоксильная кислота	Кетон	Спирт	Суммарный выход
C_5H_{10}	27	26.4	2.2	0.6	29.2
C_6H_{12}	27	37.8	1.4	0.5	39.7
C_7H_{14}	27	22.4	8.2	3.4	34.0
C_8H_{16}	27	8.9	9.4	6.0	24.3
C_5H_{10}	23	26.2	2.2	0.9	29.3
C_6H_{12}	23	35.7	1.1	0.3	37.1

¹⁵ G. Olivo *et al.* *Adv. Synth. Cat.* **2016**, 358, 843.

¹⁶ A.N. Bilyachenko *et al.* *Angew. Chem., Int. Ed.* **2016**, 55, 15360.

¹⁷ I. Garcia-Bosch *et al.* *Angew. Chem., Int. Ed.* **2016**, 55, 12873.

5. Исследование катализитических свойств Си-силлесквиоксанов в реакции С-О арилирования Чана-Эванса-Лама

Соединения $(Ph_8Si_8O_{15})(Cu)_3(TMEDA)_2 \cdot (MeCN)_3$ **3** и $(Me_6Si_6O_{12})_2(Cu)_6(Py)_6 \cdot TMEDA$ **4**, содержащие лиганд TMEDA, были исследованы в катализе О-арилования бензойных кислот фенилбороновыми кислотами по Чану-Эвансу-Ламу. Для расширения круга тестируемых катализаторов также были взяты $Cu(OAc)_2 \cdot H_2O$ и Cu^{II} -силлесквиоксан $[Ph_{12}Si_{12}O_{24}Cu_4Na_4] \cdot (dppmO_2)_2 \cdot (PhMe)_4$ **4a**¹⁸ (рис. 31, слева), содержащий окисленную форму 1,1-бис-(дифенилфосфино)метана ($dppmO_2$).

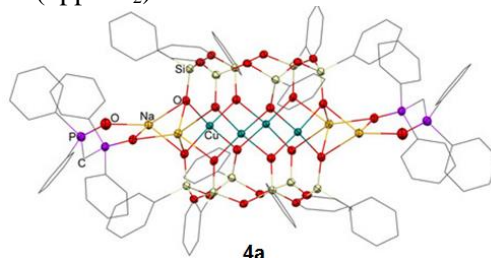


Рисунок 31. Молекулярная структура комплекса Cu^{II} -силлесквиоксана **4a** с $dppmO_2$. Цветовой код: O – красный, Si – жёлтый, Na – тёмно-жёлтый, P – фиолетовый, Cu – бирюзовый. Атомы водорода и не связанные непосредственно с каркасами сольваты не показаны для наглядности.

Реакции активированного микроволновым излучением взаимодействия бензойной кислоты **36** и фенилбороновой кислоты **37** проводили в течение 40 мин с использованием ди-трет-бутилпероксида ($t\text{-BuO}_2$) (в качестве окислителя), и пиридинина (в качестве основания) при $130^\circ C$ в растворе ацетонитрила. В результате было установлено, что наибольший выход сложного эфира **38** составляет 84% при загрузке 20 мол. % $Cu(OAc)_2 \cdot H_2O$ и 3.5 экв. пиридинина при почти полной конверсии **36** (рис. 32). При переходе к каркасам **3**, **4** и **4a** было отмечено, что наибольшую активность продемонстрировал Cu^{II} -силлесквиоксан **4a** (15 мол. % в пересчёте на Cu), при этом удалось снизить загрузку пиридинина до 1 экв. (рис. 32).

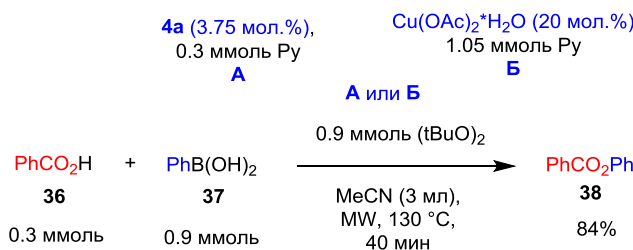


Рисунок 32. Схема О-арилования бензойной кислоты **36** в условиях реакции Чана-Эванса-Лама.

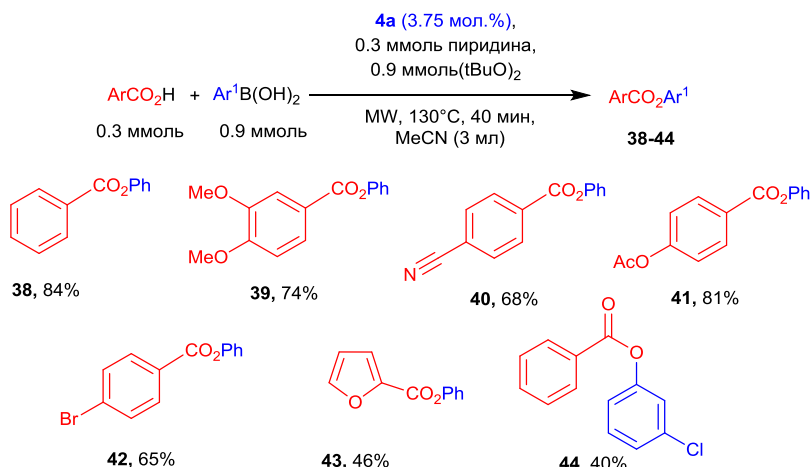


Рисунок 33. Скрининг каталитической активности **4a** с различными замещёнными бензойными кислотами и арилбороновыми кислотами. Выходы продуктов соответствуют выделенным чистым соединениям из реакционной смеси.

¹⁸ A.N. Kulakova *et al. Catalysts* **2019**, *9*, 154.

Затем был проведён катализитический скрининг соединения **4a** в реакции О-арилирования по Чану-Эвансу-Ламу с использованием различных бензойных и арилбороновых кислот (рис. 33). Использование 3,4-диметоксибензойной кислоты даёт соответствующий эфир **40** с выходом 74%. Для субстратов с электроноакцепторными группами, такими как циано и ацетат, реакция также оказалась эффективной, с выходом сложных эфиров **46** и **47** 68% и 81% соответственно (рис. 33). Использование 4-бромбензойной кислоты даёт соответствующий эфир **43** с выходом 65%. Интересно, что, несмотря на жёсткие условия реакции (130°C , $(t\text{-BuO})_2$), сложный эфир **44**, содержащий чувствительное фурановое кольцо, был получен с выходом 46%. Наконец, замена фенилбороновой кислоты на 3-хлорфенилбороновую кислоту даёт соответствующий эфир **45** с выходом 40%.

6. Исследование катализитических свойств Mn-силлесквиоксанов в реакции окислительного амидирования спиртов и альдегидов

Оценку катализитических свойств Mn-силлесквиоксанов проводили в реакции между бензиловым спиртом **45** и гидрохлоридом циклогексиламина **46** в условиях, описанных ранее для Cu^{II}-силлесквиоксанов¹⁹ (рис. 34).

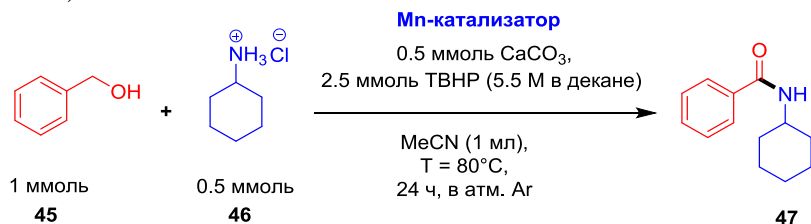


Рисунок 34. Схема реакции окислительного амидирования бензилового спирта **45** и гидрохлорида циклогексиламина **46** в присутствии различных Mn-силлесквиоксанов с образованием амида **47**.

Оптимизация загрузки катализаторов $[(\text{Ph}_6\text{Si}_6\text{O}_{12})_2\text{Mn}^{\text{II}}_2\text{Mn}^{\text{III}}_2\text{Na}_2\text{O}_2(\text{EtOH})_9(\text{MeOH})_{0.5}(\text{H}_2\text{O})_{1.5}] \cdot 2\text{EtOH}$ **30**, $[(\text{Ph}_6\text{Si}_6\text{O}_{12})_2\text{Mn}^{\text{II}}_6\text{Cl}(\text{C}_4\text{H}_8\text{O}_2)_3(\text{H}_2\text{O})_3][\text{Na}(\text{C}_4\text{H}_8\text{O}_2)_{0.875}(\text{H}_2\text{O})_{5.125}] \cdot 0.75\text{C}_4\text{H}_8\text{O}_2$ **31**, $[(\text{Ph}_6\text{Si}_6\text{O}_{12})_2\text{Mn}^{\text{II}}_6\text{Mn}^{\text{III}}_3\text{Na}_2\text{Cl}(\text{Phen})(\text{Py})_2(\text{DMF})_{2.5}] \cdot 1\frac{1}{4}\text{DMF}$ **32**, $[(\text{Ph}_5\text{Si}_5\text{O}_{10})_2\text{Mn}^{\text{II}}_3\text{Mn}^{\text{III}}_3\text{Cl}(\text{OH})(\text{Phen})_2(\text{DMF})_2] \cdot 2\frac{1}{3}\text{EtOH}$ **33**, $[(\text{Ph}_4\text{Si}_4\text{O}_8)_2\text{Mn}^{\text{II}}_2\text{Mn}^{\text{III}}_2(\text{OH})_2(\text{Phen})_4] \cdot 4\frac{1}{2}\text{DMF}$ **34** и $[(\text{Ph}_4\text{Si}_4\text{O}_8)_2\text{Mn}^{\text{II}}_2\text{Mn}^{\text{III}}_2(\text{OH})_2(\text{BPhen})_4] \cdot 4\frac{1}{2}\text{DMF}$ **35** показала, что наибольшую катализитическую активность проявляют соединения **30** и **31** (при загрузке катализаторов в 5 мол.% в пересчёте на Mn), давая выход амида **47** 79% и 84% соответственно.

Затем была проверена катализитическая активность Mn-силлесквиоксана **30** на различных субстратах (рис. 35).

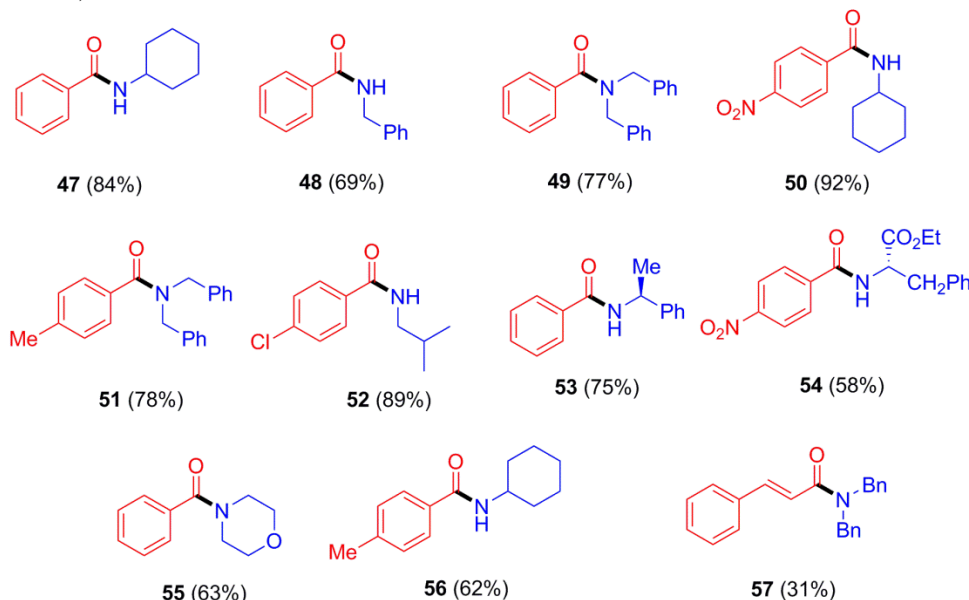


Рисунок 35. Синтезированные амиды **47-57**. В скобках указаны выходы выделенных амидов.

Было установлено, что бензиловый спирт **45** успешно реагирует с первичными и вторичными аминами с образованием амидов **48**, **49**, **53** и **55** со средними и хорошими выходами. Также реакция с аминами,

¹⁹ A.N. Bilyachenko *et al. Chem. - Eur. J.* **2015**, 21, 8758.

содержащими электронодонорные группы, такие как Me-, Cl- в пара-положении, позволяет получить целевые амиды **51**, **52** и **56** с хорошими выходами. Реакция 4-нитрозамещенного бензилового спирта приводит к амидам **50** и **54** с отличным и средним выходами соответственно. Интересно, что неароматический спирт также может реагировать в этих условиях, давая **57** с выходом 31% (рис. 35).

Кроме того, представляло интерес выяснить, можно ли применить условия реакции ОА, катализируемой марганцем, к альдегидным субстратам. Были выбраны условия ОА в соответствии с методикой, первоначально разработанной для системы AgIO_3/CuI ²⁰ (рис. 36). Низкая загрузка **30** (2.5 мол. % в пересчёте на Mn, или 0.625 мол. % **30**) даёт выход бензамида **47** с выходом 63% (рис. 37), который несколько ниже, чем в случае использования каталитической системы AgIO_3/CuI . Реакция с гидрохлоридбензиламином даёт хороший выход амида **48** (рис. 37), а замещённый бензиловый спирт [(4-метилфенил)метанол **51a**] приводит к умеренному выходу амида **56** (рис. 37).



Рисунок 36. Синтез амидов из солей первичных аминов и альдегидов.

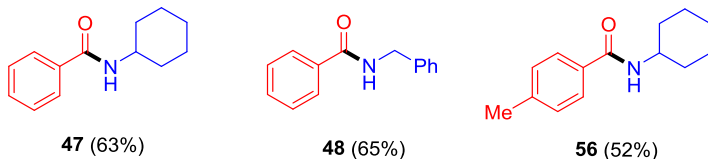


Рисунок 37. Синтезированные амиды **47**, **48** и **56** из солей первичных аминов и альдегидов. В скобках указаны выходы выделенных амидов.

Выводы:

1. Разработаны синтетические подходы к получению каркасных медь- и марганецсодержащих сил- и гермсесквиоксанов, в том числе за счёт реакций комплексообразования с донорными N,N-лигандами (1,10-фенантролином, батофенантролином, этилендиамином, тетраметилэтилендиамином). Получено 35 комплексов, структура которых установлена рентгеноструктурными исследованиями.
2. Установлены закономерности образования супрамолекулярных ассоциатов каркасными металло-силесквиоксанами. Медьсодержащие комплексы образуют 1D-3D координационные полимеры за счёт «контактов» с участием крупных ионов щелочных металлов (Rb, Cs). Супрамолекулярная организация фенантролинсодержащих комплексов реализуется различными способами: π - π стэкиновые взаимодействия фенантролинов приводят к 1D-2D координационным полимерам (для медьсодержащих соединений), либо к димерным ассоциатам (для марганецсодержащих соединений).
3. Были подробно изучены структурные перегруппировки и окислительные процессы при синтезе медьсодержащих силесквиоксанов, что позволило направленно получить карбоксилатные производные медьсесквиоксанов.
4. Показано влияние инкапсулированных агентов (хлорид-аниона и молекулы воды) на закономерности структурообразования медь- и марганецсодержащих силесквиоксановых каркасов.
5. Исследована каталитическая активность медьсодержащих сил- и гермсесквиоксанов в гомогенных реакциях окислительной функционализации углеводородов (в окислении циклогексана достигнут высокий выход продуктов окисления – 45%), в реакциях гидроксикарбоксилирования, и реакции C-O арилирования бензойных кислот по Чану-Эвансу-Ламу. Впервые исследована каталитическая активность марганецсилесквиоксанов в гомогенных реакциях окислительного амидирования спиртов и альдегидов, показана их высокая эффективность.

²⁰ W.-J. Yoo, C.-J. Li. *J. Am. Chem. Soc.* **2006**, *128*, 13064.

Список работ, в которых изложен основной материал диссертации

Статьи в рецензируемых изданиях:

1. Astakhov, G. S. New Cu₄Na₄- and Cu₅-based phenylsilsesquioxanes. Synthesis via complexation with 1,10-phenanthroline, structures and high catalytic activity in alkane oxidations with peroxides in acetonitrile / G. S. Astakhov, M. M. Levitsky, A. A. Korlyukov, L. S. Shul'pina, E. S. Shubina, N. S. Ikonnikov, A. V. Vologzhanina, A. N. Bilyachenko, P. V. Dorovatovskii, Yu. N. Kozlov, G. B. Shul'pin // *Catalysts.* – 2019. – Vol. 9. – № 9. – No. 701.
2. Astakhov, G. S. Cu(II)-silsesquioxanes as efficient precatalysts for Chan-Evans-Lam coupling / G. S. Astakhov, M. M. Levitsky, X. Bantreil, F. Lamaty, V. N. Khrustalev, Y. V. Zubavichus, P. V. Dorovatovskii, E. S. Shubina, A. N. Bilyachenko // *Journal of Organometallic Chemistry.* – 2020. – Vol. 906. – No. 121022.
3. Astakhov, G. S. Coordination affinity of Cu(II)-based silsesquioxanes toward N,N-ligands and associated skeletal rearrangements: cage and ionic products exhibiting a high catalytic activity in oxidation reactions / G. S. Astakhov, A. N. Bilyachenko, M. M. Levitsky, L. S. Shul'pina, A. A. Korlyukov, Y. V. Zubavichus, V. N. Khrustalev, A. V. Vologzhanina, E. S. Shubina, P. V. Dorovatovskii, G. B. Shul'pin // *Inorganic Chemistry.* – 2020. – Vol. 59. – № 7. – P. 4536–4545.
4. Astakhov, G. S. Cu₆- and Cu₈-cage sil- and germsesquioxanes: synthetic and structural features, oxidative rearrangements, and catalytic activity / G. S. Astakhov, M. M. Levitsky, Y. V. Zubavichus, V. N. Khrustalev, A. A. Titov, P. V. Dorovatovskii, A. F. Smol'yakov, E. S. Shubina, M. V. Kirillova, A. M. Kirillov, A. N. Bilyachenko // *Inorganic Chemistry.* – 2021. – Vol. 60. – № 11. – P. 8062–8074.
5. Bilyachenko, A. N. Exploring cagelike organosilicon building blocks for the design of heterometallic Cu₄/M₄ architectures / A. N. Bilyachenko, G. S. Astakhov, A. N. Kulakova, A. A. Korlyukov, Y. V. Zubavichus, P. V. Dorovatovskii, L. S. Shul'pina, E. S. Shubina, N. S. Ikonnikov, M. V. Kirillova, A. Y. Zueva, A. M. Kirillov, G. B. Shul'pin // *Crystal Growth & Design.* – 2022. – Vol. 22. – № 4. – P. 2146–2157.
6. Astakhov, G. S. Cagelike manganesesilsesquioxanes. Features of synthesis, unique structure, and catalytic activity in oxidative amidations / G. S. Astakhov, V. N. Khrustalev, M. S. Dronova, E. I. Gutsul, A. A. Korlyukov, D. Gelman, Y. V. Zubavichus, D. A. Novichkov, A. L. Trigub, E. S. Shubina, A. N. Bilyachenko // *Inorganic Chemistry Frontiers.* – 2022. – Vol. 9. – № 17. – P. 4525–4537.

Тезисы конференций:

1. Astakhov, G. S. Features of self-assembly synthesis and coordination polymers formation: metallacomplexes based on germaniumsesquioxanes and silsesquioxanes / G .S. Astakhov, A. N. Bilyachenko, M. M. Levitsky // 20.Frühjahrssymposium JungChemikerForum. Book of abstracts, Konstanz, Germany, March 21st-24th 2018. – P. 91.
2. Astakhov, G. S. Copper silsesquioxanes and their catalytic properties / G. S. Astakhov, A. N. Bilyachenko, M. M. Levitsky // The Fifth International Scientific Conference “Advances in Synthesis and Complexing”. Book of abstracts, Moscow, Russia, April 22st-26th 2019. – V. 2. – P. 47.
3. Astakhov, G. S. Copper-containing cage-like structures and their catalytic activity in Chan-Evans-Lam coupling reaction / G. S. Astakhov, A. N. Bilyachenko, M. M. Levitsky // 5th EUCHEMS Inorganic Chemistry Conference. Book of abstracts, Moscow, Russia, June 24st-28th 2019. – P. 192.
4. Astakhov, G. S. Copper(II)-based silsesquioxanes: unusual skeletal rearrangement and catalytic activity / G. S. Astakhov, A. N. Bilyachenko, M. M. Levitsky. D. D. Eliseeva // II Научная конференция 'Динамические процессы в химии элементоорганических соединений', посвященная 75-летию ИОФХ им. А.Е. Арбузова и Казанского научного центра РАН. Тезисы докладов, Казань, Россия, 11-13 ноября 2020. – с. 50.

Астахов Григорий Сергеевич (Россия)

Синтез каркасных координационных соединений 3d-металлов на основе сесквиоксановых лигандов и их применение в катализе

В работе описаны подходы к синтезу каркасных медь- и марганецсодержащих сил- и гермсесквиоксанов, в том числе за счёт реакций комплексообразования с донорными N,N-лигандами (1,10-фенантролином, батофенантролином, этилендиамином, тетраметилэтилендиамином). Установлены закономерности образования супрамолекулярных ассоциатов каркасными металлосилсесквиоксанами. Полученные Cu^{II}-содержащие силсесквиоксаны демонстрируют высокую катализическую активность в реакциях окислительной функционализации углеводородов и спиртов, в реакциях гидрокарбоксилирования C₅–C₈ циклоалканов и в реакции C–O арилировании бензойных кислот по Чану-Эвансу-Ламу. Марганецсодержащие силсесквиоксаны впервые показали катализическую активность на примере реакции окислительного амидирования спиртов и альдегидов.

Astakhov Grigorii Sergeevich (Russian Federation)

Synthesis of 3d-metals cagelike coordination compounds based on sesquioxane ligands and their application in catalysis

The work describes approaches to the synthesis of cagelike copper- and manganese-containing sil- and germsesquioxanes, including methods of complexation with donor N,N-ligands (1,10-phenanthroline, bathophenanthroline, ethylenediamine, tetramethylethylenediamine). Regularities in the formation of supramolecular associates by cagelike metallasilsesquioxanes have been established. The obtained Cu^{II}-containing silsesquioxanes demonstrated high catalytic activity in the reactions of oxidative functionalization of hydrocarbons and alcohols, in the hydrocarboxylation reactions of C₅–C₈ cycloalkanes, and in the Chan-Evans-Lam reaction C–O arylation of benzoic acids. Manganese-containing silsesquioxanes have demonstrated catalytic activity in the model reaction oxidative amidation of alcohols and aldehydes.